

Anotasi

3100097008668

TUGAS AKHIR

KONVERSI ENERGI

PERENCANAAN SUDU KINCIR ANGIN PROFIL PELAT LENGKUNG UNTUK PENUAAN AIR GARAM PADA INDUSTRI GARAM RAKYAT DI SUMENEP

RSM
621.453
Har
P-1
1996



Disusun oleh :

RADEN YUDI HARTONO

NRP : 2193.030.061

**PROGRAM STUDI DIPLOMA III TEKNIK MESIN
FAKULTAS TEKNOLOGI INDUSTRI
INSTITUT TEKNOLOGI SEPULUH NOPEMBER
SURABAYA**

1996

PERPUSTAKAAN I T S	
Tgl. Terima	24 FEB 1997
Terima Dari	H
No. Agenda Prp.	6918

**PERENCANAAN SUDU KINCIR ANGIN
PROFIL PELAT LENGKUNG UNTUK PENUAAN AIR
GARAM PADA INDUSTRI GARAM RAKYAT
DI SUMENEP**

TUGAS AKHIR

**Diajukan Guna Memenuhi Sebagian Persyaratan
Untuk Memperoleh Gelar Ahli Madya Teknik Mesin
Pada**

**Bidang Studi Konversi Energi
Program Studi Diploma III
Jurusan Teknik Mesin
Fakultas Teknologi Industri**

**Institut Teknologi Sepuluh Nopember
Surabaya**

Mengetahui / Menyetujui

Dosen Pembimbing



NIP. 132. 135. 223

SURABAYA

Oktober, 1996

ABSTRAKSI

Sistem Konversi Energi Angin (SKEA) merupakan salah satu jawaban dari permasalahan krisis energi dewasa ini. Sebab energi angin merupakan sumber energi yang tidak akan pernah habis. Selain itu sumber energi ini terdapat dimana-mana dan tidak menimbulkan dampak negatif dan polusi terhadap lingkungan. Pada daerah-daerah terpencil dan pedesaan yang memiliki potensi angin cukup besar dapat dikembangkan suatu SKEA skala kecil sampai besar, dapat pula mengaplikasikan SKEA ke dalam teknologi tepat guna. Sebagai contoh SKEA dapat diaplikasikan untuk menggerakkan pompa air atau generator listrik. Dengan menggunakan kincir angin sebagai alat dimana sudu kincir angin memegang peranan penting yaitu bagian yang bertugas mengkonversikan energi kinetik angin menjadi energi mekanik pada poros. Oleh sebab itu sudu kincir angin perlu dirancang sebaik-baiknya agar didapatkan sudu kincir angin yang dapat digunakan untuk memompa air laut ke lahan peminihan yang selanjutnya air laut dituakan untuk proses produksi garam pada industri garam rakyat yang direncanakan ditempatkan di desa Marengan kecamatan Kalianget kabupaten Sumenep.

KATA PENGANTAR

Puji syukur kami panjatkan kepada Allah SWT yang telah memberikan rahmat dan hidayahNya, sehingga penyusun dapat menyelesaikan laporan Tugas Akhir dengan judul " Perencanaan Kincir Angin Profil Pelat Lengkung Untuk Penuaan Air Garam Pada Industri Garam Rakyat Di Sumenep ".

Laporan Tugas Akhir ini disusun guna memenuhi persyaratan akademik di Program Studi DIII Teknik Mesin, Fakultas Teknologi Industri, Institut Teknologi Sepuluh Nopember (ITS) Surabaya.

Selama penyusunan Tugas Akhir ini telah kami dapatkan segala bantuan dan informasi yang bermanfaat. Oleh sebab itu, pada kesempatan ini kami sampaikan ucapan terima kasih kepada :

1. Bpk. Dr. Ir. Soeharto, DEA selaku Kaprodi DIII Teknik Mesin FTI-ITS.
2. Bpk. Ir. Heru Mirmanto selaku dosen pembimbing yang telah memberikan bimbingan dan arahan kepada penyusun selama mengerjakan laporan ini.
3. Bpk. Ir. Edy Widiyono, Msc selaku koordinator Tugas Akhir.

4. Bpk. Ir. Sudarto selaku Kabag Pegaraman I/IV yang telah membantu dalam pengambilan data di PT. GARAM (Persero) Kalianget Madura.
5. Seluruh staf dan karyawan PT. GARAM (Persero) yang turut membantu penyelesaian Tugas Akhir ini.
6. Semua pihak yang tidak dapat kami sebutkan satu persatu sampai terselesaikannya laporan ini.

Akhirnya demi kesempurnaan laporan Tugas Akhir ini penyusun dengan senang hati menerima kritik dan saran yang bersifat membangun. Semoga laporan Tugas Akhir ini bermanfaat dan memberikan tambahan wawasan pengetahuan bagi para pembaca.

Surabaya, Oktober 1996

Penyusun

DAFTAR ISI

ABSTRAKSI	i
KATA PENGANTAR	ii
DAFTAR ISI	iv
BAB I. PENDAHULUAN	
1.1. LATAR BELAKANG	1
1.2. POKOK PERMASALAHAN	4
1.3. BATASAN PERMASALAHAN	4
1.4. METODOLOGI PENULISAN	5
BAB II. TINJAUAN PUSTAKA	
2.1. DASAR TEORI KINCIR ANGIN	7
2.1.1. CARA KERJA KINCIR ANGIN	7
2.1.2. TEORI MOMENTUM AKSIAL	8
2.1.3. DAYA, TORSI, DAN KECEPATAN	13
2.1.4. AIRFOIL	15
2.1.5. TEORI ELEMEN SUDU	20
2.2. DASAR PERHITUNGAN DAYA	29

2.3. TEORI PERHITUNGAN DATA ANGIN	33
2.3.1. DISTRIBUSI KECEPATAN DAN ARAH ANGIN	34
2.3.2. FREKUENSI KECEPATAN ANGIN	34
2.3.3. DISTRIBUSI PELUANG ARAH DAN KECEPATAN ANGIN	35

BAB III. PEMILIHAN PARAMETER PERENCANAAN KINCIR ANGIN

3.1. KECEPATAN ANGIN RATA-RATA	37
3.2. TIP SPEED RATIO (λ)	38
3.3. GEOMETRI SUDU	39
3.3.1. DISTRIBUSI CHORD (C)	39
3.3.2. DISTRIBUSI KETEBALAN SUDU	40
3.4. JUMLAH SUDU (B)	40
3.5. SOLIDITY (σ)	42
3.6. HUBUNGAN ANTARA TIP SPEED RATIO DENGAN JUMLAH SUDU	43
3.7. AIRFOIL	43
3.8. JARI-JARI KINCIR ANGIN	44

BAB IV. PERHITUNGAN SUDU KINCIR ANGIN

4.1. PERHITUNGAN JARI-JARI KINCIR ANGIN	45
--	-----------

4.2. RANCANGAN BENTUK SUDU KINCIR ANGIN	47
BAB V. KESIMPULAN DAN SARAN	
5.1. KESIMPULAN	55
5.2. SARAN	55
DAFTAR PUSTAKA	
LAMPIRAN - LAMPIRAN	59

BAB I

PENDAHULUAN

1.1. LATAR BELAKANG

Pemanfaatan energi angin dengan menggunakan kincir angin sebagai alat konversi energi sudah dikenal sejak ratusan tahun yang lalu. Di Eropa khususnya Belanda, mulai abad XII kincir angin telah digunakan sebagai penggerak pompa untuk sistem bendungan pada daerah-daerah pantai.

Namun sejak ditemukannya minyak bumi kecenderungan pemanfaatan energi angin untuk tata kehidupan manusia mulai menurun. Keadaan ini berlangsung hingga terjadinya krisis energi. Manusia mulai menyadari perlunya pengembangan pemanfaatan sumber energi non minyak termasuk pengembangan pemanfaatan energi angin.

Pemanfaatan sumber energi non minyak ini antara lain meliputi permasalahan sebagai berikut :

1. Pemanfaatan sumber energi non konvensional dan sumber energi yang dapat diperbaharui.
2. Penggunaan sistem konversi energi dengan efisiensi yang cukup tinggi.
3. Penggunaan sistem konversi energi yang sederhana.

Energi angin sebagai suatu sumber energi yang dapat diperbaharui sudah sepatutnya untuk dimanfaatkan sebaik-baiknya. Hal ini disebabkan adanya beberapa faktor yang mendorong pengembangan pemanfaatan energi angin, seperti :

1. Energi angin merupakan energi lokal yang tidak memerlukan berbagai bentuk pengadaan dan transportasi, sehingga sangat bermanfaat untuk daerah pedesaan.
2. Pengaruh teknologi pemanfaatan energi pada lingkungan, sejauh yang diketahui dewasa ini tidak mengganggu kelestarian lingkungan.

Apabila ditinjau pemanfaatan energi angin ini secara garis besar berorientasi pada kebutuhan energi lokal atau pedesaan. Hal ini menimbulkan pandangan bahwa teknologi energi angin ini tepat untuk dikembangkan di Indonesia, mengingat wilayah Indonesia terdiri dari banyak daerah pedesaan, yang potensi anginnya memadai.

Telah diketahui bersama angin merupakan sumber alam yang bisa diperbaharui yang sangat bermanfaat bagi kehidupan manusia. Demikian juga kebutuhan garam untuk penggunaan sehari-hari sebagai penyedap masakan dan untuk keperluan industri juga sangat diperlukan. Dalam rangka pengembangan pemanfaatan energi angin penulis merasa perlu untuk merencanakan suatu kincir angin dengan geometri pelat lengkung karena konstruksinya yang relatif sederhana, yang memungkinkan pembuatan, pemeliharaan dan perbaikan dengan perawatan bengkel yang relatif sederhana pula sehingga kincir angin ini akan sangat bermanfaat apabila ditempatkan di daerah pedesaan, pulau kecil atau daerah terpencil

lainnya khususnya untuk pembuatan garam pada industri garam rakyat di Madura.

Oleh sebab itu penulis memberikan judul pada tugas akhir ini yaitu :

***" PERENCANAAN SUDU KINCIR ANGIN PROFIL PELAT LENGKUNG UNTUK
PENUAAN AIR GARAM PADA INDUSTRI GARAM RAKYAT DI SUMENEP "***

Seperti telah kita ketahui bersama angin adalah suatu gerakan udara yang disebabkan oleh gaya-gaya akibat putaran bumi, gravitasi dan pemanasan matahari pada permukaan bumi. Angin dalam pergerakannya menimbulkan energi kinetik karena mempunyai massa dan kecepatan tertentu. Dalam Sistem Konversi Energi Angin, energi kinetik angin kemudian dikonversikan oleh suatu sistem kincir angin untuk dijadikan energi mekanik sebagai penggerak poros, dengan menggunakan rotor atau sudu sebagai penangkap anginnya.

Apabila ditinjau struktur dari sistem ini, maka permasalahannya secara umum meliputi :

1. Bagian rotor atau sudu yang fungsinya sebagai penangkap angin dan meneruskannya ke poros.
2. Sistem transmisi daya poros untuk menghasilkan kerja berguna atau untuk konversi energi dalam bentuk lain, misalnya energi listrik.

Keduanya bertujuan mengkonversikan energi angin menjadi energi mekanis, yang nantinya mungkin dimanfaatkan langsung sebagai penggerak pompa, penggerak aerator atau generator listrik.

1.2. POKOK PERMASALAHAN

Untuk menjamin kesinambungan pemanfaatan energi angin, berbagai rancangan pembuatan rotor atau sudu sebagai penangkap angin terus dikembangkan dalam penelitian.

Dalam kesempatan ini penulis mencoba untuk merencanakan kincir angin sudu pelat lengkung. Dipilihnya geometri pelat lengkung sebagai sudu kincir angin karena konstruksinya sederhana yang memungkinkan pembuatan, pemeliharaan dan perbaikan dengan peralatan bengkel yang relatif sederhana. Hal ini akan sangat bermanfaat bila kincir angin ini diterapkan di daerah pedesaan seperti misalnya daerah pegaraman kaliangget madura. Yaitu kincir angin akan coba diterapkan untuk memompa air di lahan peminahan untuk proses produksi pembuatan garam rakyat.

1.3. BATASAN PERMASALAHAN

Pada perencanaan sudu kincir angin ini perhitungan diarahkan untuk mendapatkan dimensi sudu kincir angin. Sedangkan perhitungan khusus untuk menghitung kekuatan konstruksi kincir angin tidak dilakukan.

Pada perencanaan sudu kincir angin, dimensinya didasarkan pada besarnya kecepatan angin dilokasi perencanaan yaitu desa Marengan kecamatan Kaliangget kabupaten Sumenep dan kebutuhan daya yang digunakan untuk memompa air laut ke lahan peminahan.

1.4. METODELOGI PENULISAN

Metode yang digunakan dalam penulisan tugas akhir ini yaitu :

- Studi literatur.
- Surver data angin pada stasiun cuaca Pegaraman I/IV di PT.GARAM (Persero) Sumenep.
- Pengolahan data angin.
- Perhitungan.
- Kesimpulan dan Saran.

Adapun sistimatika penulisan tugas akhir ini adalah sebagai berikut :

□ BAB I PENDAHULUAN

Membahas tentang latar belakang, pokok permasalahan, batasan masalah, alasan pemilihan judul serta sistimatika penulisan.

□ BAB II TINJAUAN PUSTAKA

Membahas tentang prinsip kerja kincir angin dan dasar teori yang digunakan untuk perhitungan suatu suatu kincir angin.

□ BAB III PEMILIHAN PARAMETER PERENCANAAN KINCIR ANGIN

Membahas tentang parameter-parameter perencanaan suatu kincir angin dan alasan-alasan pemilihannya.

BAB IV PERHITUNGAN SUDU KINCIR ANGIN

Membahas tentang perhitungan jari-jari kincir angin dan perhitungan untuk mendapatkan dimensi sudu kincir angin .

 BAB V KESIMPULAN DAN SARAN **DAFTAR PUSTAKA** **LAMPIRAN-LAMPIRAN**

BAB II

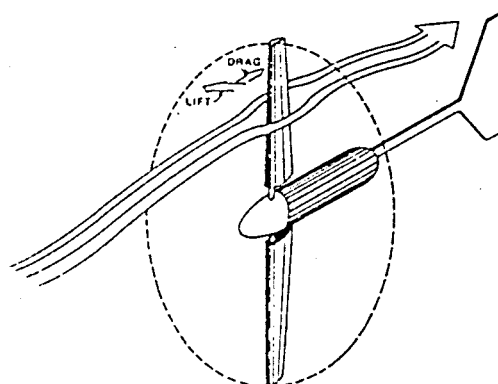
TINJAUAN PUSTAKA

2.1. DASAR TEORI KINCIR ANGIN.

2.1.1. CARA KERJA KINCIR ANGIN.

Dalam kerjanya kincir angin mengkonversikan energi kinetik angin menjadi energi mekanis pada poros. Energi mekanis ini selanjutnya dapat dimanfaatkan untuk memutar pompa air, generator, aerator dan lain-lain.

Bagian terpenting di dalam pengubahan energi kinetik angin menjadi energi mekanik adalah rotor yang terdiri atas sudu-sudu. Sudu-sudu inilah yang menghasilkan gaya lift sehingga dapat menggerakkan rotor untuk berputar.



Gambar 2.1. Gaya lift pada sudu kincir angin

2.1.2. TEORI MOMENTUM AKSIAL.

Dengan teori ini dilakukan analisis untuk mengetahui unjuk kerja dari Sistem Konversi Energi Angin (SKEA) ideal. Asumsi-asumsi dan ketentuan yang disyaratkan untuk kondisi kerja dari kincir angin ideal adalah sebagai berikut :

1. Aliran Incompresible.
2. Aliran Uniform.
3. Tidak terjadi putaran wake yang terjadi dibelakang rotor.
4. Jumlah sudut tak terhingga.
5. Tidak ada gaya drag yang terjadi ($C_d/C_l = 0$)
6. Tekanan udara jauh sebelum dan jauh sesudah meninggalkan sistem dianggap sama dengan tekanan sekeliling.
7. Kerapatan udara tetap.

Ada beberapa persamaan dasar yang akan digunakan dalam teori ini yaitu :

1. Kekekalan Massa.

Terjadi kekekalan massa selama angin melintasi sistem kincir angin

$$\rho_1 V_1 A_1 = \rho V_{Ax} A = \rho_2 V_2 A_2 \dots\dots\dots(2.1)$$

2. Perubahan Momentum.

Terjadi gaya thrust (T_{thr}) pada rotor yang disebabkan perubahan momentum angin masuk dan meninggalkan sistem kincir angin.

$$T_{thr} = \rho A_1 V_1^2 - \rho A_2 V_2^2 \dots\dots\dots(2.2)$$

3. Perbedaan Tekanan.

Terjadi perbedaan tekanan antara kedua sisi rotor kincir angin, sisi depan (P_b) dan sisi belakang (P_c). Gaya thrust yang terjadi dapat juga dinyatakan dengan perbedaan tekanan antara P_b dan P_c dikalikan dengan luas rotor.

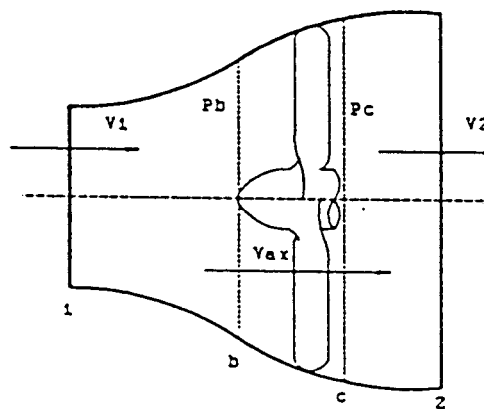
$$T_{thr} = (P_b - P_c)A \dots\dots\dots(2.3)$$

4. Mengabaikan Elevasi.

Menggunakan persamaan Bernoulli dengan mengabaikan faktor elevasi.

$$P + \rho g z + \frac{1}{2} \rho V^2 = konstan$$

$$P + \frac{1}{2} \rho V^2 = konstan \dots\dots\dots(2.4)$$



Gambar 2.2. Notasi pada teori momentum aksial

Dari gambar 2.2 di atas dengan menggunakan persamaan bernoulli antara titik 1 dengan titik b di dapat :

$$P_1 + \frac{1}{2}\rho V_1^2 = P_b + \frac{1}{2}\rho V_{AX}^2 \dots\dots\dots(2.5)$$

Untuk titik c dan 2 di dapat :

$$P_c + \frac{1}{2}\rho V_{AX}^2 = P_2 + \frac{1}{2}\rho V_2^2 \dots\dots\dots(2.6)$$

Dari kedua persamaan Bernoulli ini dapat dicari beda tekanan antara titik b dan c, dengan mengeliminasi faktor-faktor yang sama.

$$P_b - P_c = \frac{1}{2}\rho(V_1^2 - V_2^2) \dots\dots\dots(2.7)$$

Dan gaya Thrust pada persamaan 2.3 dapat diubah menjadi :

$$T_{thr} = \frac{1}{2}\rho A(V_1^2 - V_2^2) \dots\dots\dots(2.8)$$

Persamaan momentum dapat diubah menjadi persamaan berikut dengan prinsip kekekalan massa .

$$T_{thr} = \rho A V_{AX}(V_1 - V_2) \dots\dots\dots(2.9)$$

Dari persamaan (2.8) dan (2.9) akan didapat hubungan antara V_1 dan V_2 dengan V_{AX} , yaitu :

$$V_{AX} = \frac{1}{2}(V_1 + V_2) \dots\dots\dots(2.10)$$

Besarnya V_{AX} lebih kecil dari dari V_1 , hal ini disebabkan adanya "Induced Velocity" yaitu sebagian vektor kecepatan angin yang melewati rotor kincir dan tidak dimanfaatkan untuk memutar sudu. Besarnya faktor ini dilambangkan dengan a . Maka secara matematis besarnya V_{AX} dapat dinyatakan sebagai :

$$V_{AX} = (1 - a)V_1 \dots\dots\dots(2.11)$$

Dengan mensubstitusikan persamaan 2.11 dan 2.10 maka di dapat :

$$V_2 = V_1(1 - 2a) \dots\dots\dots(2.12)$$

Daya yang dihasilkan kincir angin adalah perubahan energi kinetik dan massa aliran udara yang melalui luasan rotor. Dapat dituliskan :

$$N = \frac{1}{2}\rho A V_{AX} \left(V_1^2 - V_2^2 \right) \dots\dots\dots(2.13)$$

Dengan memasukkan persamaan 2.11 dan 2.12 maka persamaan daya menjadi :

$$N = 4a(1 - a)^2 \frac{1}{2}\rho A V_1^3 \dots\dots\dots(2.14)$$

Pada persamaan 2.14 tampak bahwa daya yang dihasilkan rotor merupakan fungsi kuadrat dari faktor induksi aksial. Maka untuk mendapatkan harga daya maksimal yang dihasilkan oleh rotor. Secara teoritis harga $\frac{dN}{da}$ harus sama dengan nol.

$$\frac{dN}{da} = \frac{d}{da} \left[4a(1-a)^2 \frac{1}{2} \rho A V_1^3 \right] = 0 \quad \dots \dots \dots (2.15)$$

Dari persamaan 2.15 akan di dapat harga a untuk daya maksimum, yaitu pada $a=1/3$. Jika nilai a ini disubstitusikan ke persamaan 2.14 didapatkan :

$$N_{maks} = \frac{16}{27} \frac{1}{2} \rho A V_1^3 \quad \dots \dots \dots (2.16)$$

Dimana :

N_{maks} = Daya maksimum ideal teoritis kincir angin (Watt)

ρ = Density udara (kg/m^3)

A = Luas bidang putar sudut kincir angin (m^2)

V_1 = Kecepatan udara bebas (m/dt)

Bila dibandingkan dengan daya yang dapat diberikan oleh angin (N) yang besarnya :

$$N = \frac{1}{2} \rho A V_1^3 \quad \dots \dots \dots (2.17)$$

Maka daya yang dihasilkan oleh suatu SKEA secara ideal hanya sebesar 0,593 dari jumlah energi yang dimiliki oleh angin dapat dimanfaatkan menjadi energi mekanik. Jadi efisiensi maksimum suatu kincir angin adalah sebesar 59,3 %¹.

2.1.3. DAYA, TORSI, DAN KECEPATAN.

Suatu sudu kincir angin dapat berputar disebabkan adanya komponen gaya angkat pada permukaan airfoil sudu saat angin melaluinya. Komponen gaya angkat ini merupakan gaya tangensial sudu yang mempunyai jarak (lengan) tertentu terhadap sumbu putar.

Hasil kali antara gaya tangensial dengan lengan sering disebut torsi (T). Seandainya sudu ini berputar dengan kecepatan tertentu (Ω), maka daya (N) yang timbul sebesar :

$$N = T \cdot \Omega \quad \dots\dots\dots(2.18)$$

Dimana : T = Torsi (Nm)

N = Daya (Watt)

Ω = Kecepatan sudut (rad/dt)

Telah dibahas sebelumnya bahwa energi kinetik yang dimiliki angin tidak seluruhnya dapat dikonversikan menjadi gaya mekanik. Dengan demikian telah terjadi

¹ Daniel V Hunt, WIND POWER, HAL 107

kerugian daya sehingga daya mekanis yang sesungguhnya dihasilkan oleh rotor kincir angin menjadi lebih kecil dari daya angin.

Perbandingan antara daya mekanis yang dihasilkan dengan daya yang dimiliki angin disebut dengan koefisien daya (C_p)², dapat ditulis :

$$C_p = \frac{N_{mek}}{\frac{1}{2} \rho A V^3} \quad \dots\dots\dots (2.19)$$

Dimana : N_{mek} = Daya mekanis ideal kincir angin (Watt)

ρ = Density udara (Kg/m³)

A = Luas bidang putar sudu kincir angin (m²)

V = Kecepatan udara bebas (m/dt)

C_p = Koefisien daya sudu kincir angin

Hal tersebut terjadi pula pada torsi yang dihasilkan, sehingga koefisien torsinya adalah

$$C_T = \frac{T}{\frac{1}{2} \rho A V^2 R} \quad \dots\dots\dots (2.20)$$

Jika didefinisikan bahwa Tip Speed Ratio (λ) adalah perbandingan antara kecepatan linear rotor dengan kecepatan angin sebelum mengenai sudu, maka Tip Speed Ratio secara matematis dapat ditulis menjadi :

² Ibid, hal. 104

$$\lambda = \frac{\omega \cdot R}{V} \dots\dots\dots(2.21)$$

Dimana :

V = Kecepatan angin sebelum mengenai sudu (m/dt)

R = Jari-jari Sudu (m)

ω = Kecepatan putaran sudu (rad/dt)

Maka dengan mensubstitusikan persamaan-persamaan 2.20 dan 2.21 ke persamaan 2.19 didapat :

$$C_p = C_T \cdot \lambda \dots\dots\dots(2.22)$$

2.1.4. AIRFOIL

Sudu suatu kincir angin sering kali berpenampang airfoil, tetapi adakalanya sudu ini memiliki profil pelat lengkung yang merupakan penyederhanaan dari bentuk airfoil.

Pada gambar 2.3 dapat dilihat bahwa ketika udara mengalir melalui suatu bentuk airfoil terbentur oleh hidung (nose) dari air foil sehingga terpecah di titik a. Angin tersebut melintasi lintasan yang berbeda dan sampai di titik b dalam waktu yang sama. Lintasan punggung dari airfoil lebih panjang sehingga di daerah ini kecepatan angin lebih cepat dibandingkan dengan daerah bawah (perut) airfoil. terjadinya perbedaan kecepatan ini akan menimbulkan perbedaan tekanan. Tekanan pada perut airfoil lebih besar dari tekanan pada punggung airfoil sehingga terjadilah gaya angkat

(Lift) yang arahnya tegak lurus terhadap aliran udara. Disamping itu juga terjadi gaya tahan (Drag) yang searah dengan aliran.

Gaya angkat yang terjadi secara umum dipengaruhi oleh beberapa faktor antara lain :

1. Kecepatan relatif airfoil dan udara (V)

Semakin tinggi kecepatan aliran fluida melintasi airfoil maka semakin besar perbedaan tekanan yang terjadi di bagian atas dan bagian bawah airfoil. Akibatnya gaya angkat yang ditimbulkan juga semakin besar.

2. Luas airfoil (A)

Semakin luas airfoil yang dipakai, akan semakin besar gaya angkat yang terjadi.

3. Density udara (ρ)

Semakin besar density udara (rapat massa) udara yang mengalir maka semakin besar gaya yang terjadi.

4. Sudut antara penampang Airfoil dengan aliran udara (α)

Biasa dikenal dengan istilah Angle of Attack (A_oA). Sudut serang yang lebih besar akan memberikan gaya angkat yang semakin besar pula.

Dari uraian di atas dapat disimpulkan bahwa besar masing-masing gaya angkat dan gaya hambat dapat dirumuskan secara matematis³ :

$$L = Cl \frac{1}{2} \rho V^2 A \quad \dots\dots\dots(2.23)$$

³ FOX, Introduction To Fluid Mechanic, Hal. 425

$$D = Cd \frac{1}{2} \rho V^2 A \quad \dots \dots \dots (2.24)$$

Dimana :

L = Gaya angkat (Lift)

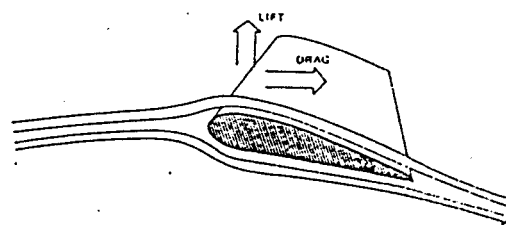
D = Gaya tahan (Drag)

ρ = Density fluida

V = Kecepatan relatif fluida

A = Luas permukaan airfoil

C_l, C_d = Koefisien gaya angkat dan gaya hambat yang dipengaruhi oleh sudut serang



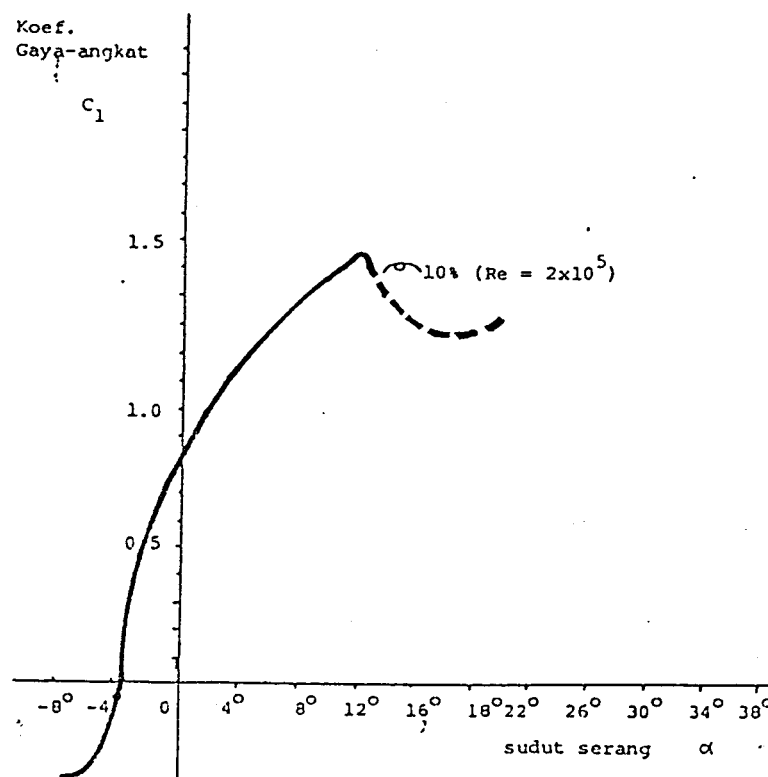
2.3. Gaya angkat dan gaya tahan pada airfoil

Dari uraian di muka telah diketahui bahwa koefisien gaya angkat mempengaruhi besarnya gaya angkat, padahal diketahui pula bahwa harga koefisien dipengaruhi garis serangnya.

Setiap bentuk airfoil selalu memiliki karakteristik aerodinamik yang khas. Oleh sebab itu beberapa badan yang berwenang dalam bidang ini telah meneliti hal tersebut. Hasil penelitian mereka cetuskan ke dalam bentuk grafik koefisien gaya angkat terhadap sudut serang .

Sebagai contoh marilah kita tinjau profil airfoil pelat lengkung 10 %. Perhatikan grafik $C_l - \alpha$ pada gambar 2.4 di bawah⁴.

Dari grafik tersebut kita melihat bahwa pada daerah tertentu koefisien gaya angkat mempunyai perbandingan yang tetap dengan sudut serangnya. Semakin besar sudut serang semakin tinggilaah koefisien gaya angkatnya.



Gambar 2.4. Kurva $C_l - \alpha$ untuk pelat lengkung 10% pada $Re = 2 \times 10^5$

Perubahan koefisien gaya angkat terhadap sudut serang pada grafik diatas dinyatakan dengan kemiringan kurva. Semakin miring kurva semakin besarlah perubahan gaya angkat terhadap perubahan sudut serangnya.

⁴ Majalah LAPAN No. 22, 1981 Hal 54

Sampai sudut serang tertentu koefisien gaya angkat maksimal akan dicapai. Sedikit lebih besar dari $C_l - \alpha_{max}$ ini, airfoil akan kehilangan gaya angkatnya.

Disamping kurva $C_l - \alpha$, kurva $C_d - C_l$ merupakan kurva karakteristik lain dari suatu airfoil. Koefisien gaya tahan (C_d) sebenarnya terdiri dari dua komponen, yaitu⁵ :

$$C_d = C_{d0} + C_{dT} \text{Terinduksi}$$

Dimana :

C_{d0} = Koefisien gaya tahan yang disebabkan adanya gesekan udara pada kulit permukaan airfoil yang dipengaruhi bentuk airfoil.

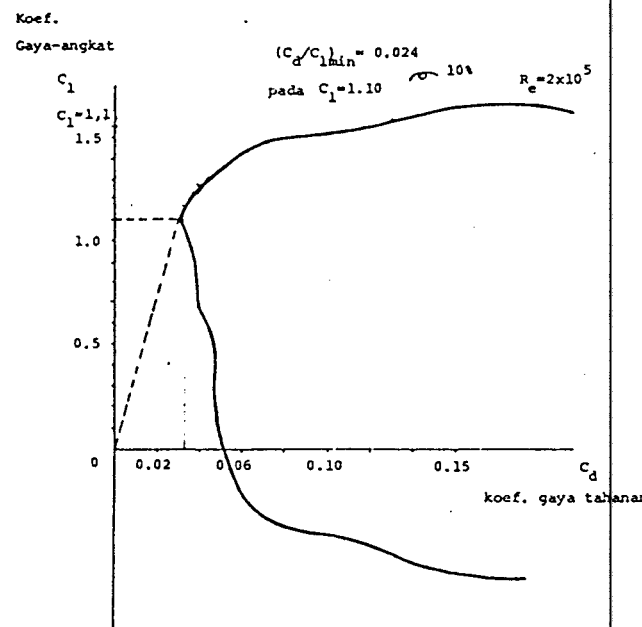
C_{dT} = Koefisien gaya tahan yang timbul setelah air foil menghasilkan gaya angkat dan besarnya dipengaruhi oleh aspek ratio airfoil dan gaya angkat.

Hubungan koefisien gaya tahan terhadap koefisien gaya angkat pada profil pelat lengkung 10 % dan dilihat pada gambar 2.5⁶.

Untuk mendapatkan hasil perencanaan sudut terbaik dipilih sudut serang yang menghasilkan gaya angkat maksimum dengan cara memplotkan besarnya gaya angkat dari kurva $C_d - C_l$ untuk nilai minimum. Selanjutnya dengan pertolongan kurva $C_l - \alpha$ akan diperoleh harga sudut serang yang diinginkan.

⁵ Budi Atmoko, Merancang, Membuat dan Menerbangkan pesawat model, 1991 Hal 24

⁶ Majalah LAPAN No. 22, 1981 Hal. 53



Gambar 2.5. Polar diagram C_l - C_d dari pelat lengkung 10% pada $R_e = 2 \times 10^5$

2.1.5. TEORI ELEMEN SUDU

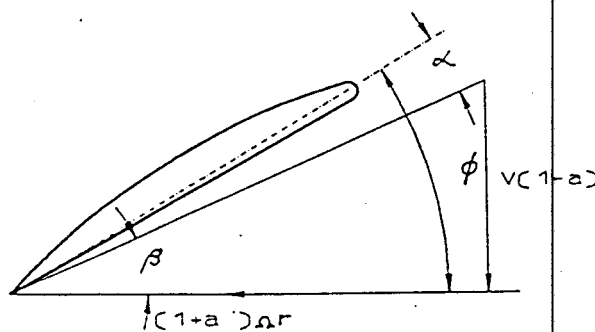
Pada teori momentum aksial yang telah dibahas dimuka, telah didapatkan hubungan antara luasan sudu kincir angin dengan daya yang dihasilkan. Tetapi beberapa parameter perencanaan seperti jumlah sudu, lebar sudu, sudut serang dan sudut puntir belum disinggung sama sekali. Untuk mengetahui pengaruh parameter-parameter tersebut dikembangkanlah suatu teori yang biasa disebut Teori Elemen Sudu (Blade Element Teori)⁷.

1. Efek sudut puntir (Twist) pada kemampuan suatu sudu.

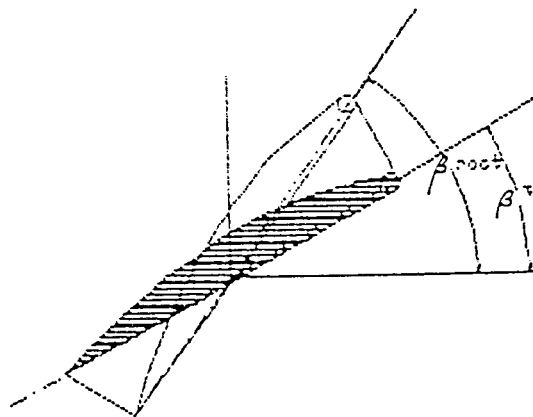
Seperti telah diuraikan pada bahasan mengenai airfoil, bahwa sudu kincir angin mempunyai sudut serang tertentu terhadap arah datangnya angin. Sudut serang

⁷ Daniel V Hunt, WIND POWER, Hal. 120

ini ditentukan sedemikian rupa sehingga menghasilkan daya angkat terbaiknya. Sudu kincir angin berputar disebabkan gaya angkat pada permukaan sudu ketika udara dengan kecepatan tertentu melaluinya, seperti gambar 2.6 berikut.



Gambar 2.6. Vektor kecepatan pada elemen sudu



Gambar 2.7. Perbedaan sudut twist di bagian tepi dan akar sudu

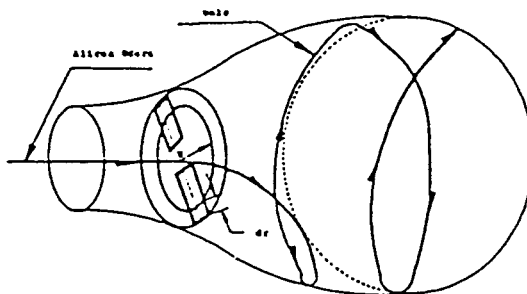
Ketika sudu kincir angin berputar dengan kecepatan sudut tertentu terjadi perbedaan kecepatan linear disepanjang sudu. Kecepatan di bagian tepi (tip) relatif lebih besar dibandingkan dengan di bagian akar (root). Akibatnya gaya angkat yang terjadi disepanjang tersebut tidak merata.

Untuk mendapatkan gaya angkat yang merata disepanjang sudu yaitu dengan cara mengatur besarnya sudut serang efektif pada tiap titik disepanjang sudu berbeda-beda, dimana bagian akar mempunyai sudut serang efektif yang lebih besar daripada di bagian tepi. Konsekuensinya didapatkan bahwa besarnya sudut puntir β (Twist) di bagian akar lebih besar dan di bagian tip lebih kecil.

2. Efek putaran wake (Olakan)

Pada teori momentum aksial telah diasumsikan bahwa tidak terjadi putaran wake di sekitar sudu-sudu kincir angin. Tetapi pada kenyataan sesungguhnya untuk mencari dimensi geometri sudu efek dari putaran wake ini tidak dapat diasumsikan begitu saja, Karena wake merupakan penyebab kerugian daya.

Terjadinya putaran wake dapat dimengerti dari gambar di bawah ini



Gambar 2.8. Sketsa terjadinya putaran wake

Sudu-sudu dialiri udara dari arah tegak lurus bidang putar, selanjutnya aliran udara akan berbelok yang disebabkan bentuk sudu dan torsi yang diberikan sudu. Maka udara setelah melalui rotor akan berputar berlawanan dengan arah

putaran rotor. Sehingga pada permukaan airfoil sudu-sudu terjadi aliran singkat yang mengakibatkan turunnya perbedaan tekanan pada kedua permukaan tersebut. Akibatnya gaya angkat (lift) yang dihasilkan sudu-sudu akan turun.

Analisa lebih lanjut dari akibat putaran wake disajikan di bawah ini. Perhatikan sekali lagi gambar diatas, luas elemen cincin yang berjari-jari r dan ketebalannya dr adalah $2\pi r dr$. Akibat adanya putaran wake maka kecepatan anguler relatif akan bertambah menjadi $\Omega + \omega$, dimana Ω dan ω masing-masing adalah kecepatan anguler rotor dan kecepatan anguler angin.

Dengan menggunakan persamaan Bernoulli, pada sisi sebelum dan sesudah melalui rotor didapatkan :

$$Pb + \frac{1}{2}\rho(\Omega r)^2 = Pc + \frac{1}{2}\rho((\Omega + \omega)r)^2$$

$$Pb - Pc = \rho\left(\Omega + \frac{\omega}{2}\right)\omega r^2 \quad \dots\dots\dots(2.25)$$

Elemen gaya Thrust adalah perbedaan tekanan dikalikan luasan cincin rotor :

$$dT_{thr} = \rho\left(\Omega + \frac{\omega}{2}\right)\omega r^2 2\pi r dr \quad \dots\dots\dots(2.26)$$

Dengan memasukkan faktor induksi tangensial a^* (lihat gb.2.6) yang besarnya⁸ :

⁸ Daniel V Hunt, WIND POWER, Hal. 120

$$a' = \frac{\omega}{2\Omega} \dots\dots\dots(2.27)$$

Persamaan 2.26 dapat ditulis menjadi :

$$dT_{thr} = 4a'(1 + a')\frac{1}{2}\rho\Omega^2 r^2 2\pi r dr \dots\dots\dots(2.28)$$

Telah dibahas bahwa gaya thrust yang terjadi dapat diketahui dari persamaan berikut :

$$T_{thr} = \frac{1}{2}\rho A(V_1^2 - V_2^2) \dots\dots\dots(2.8)$$

Dengan memasukkan faktor induksi aksial a dan $V_2 = V_1(1-2a)$, $V_1 = V$ serta $A = 2\pi r dr$, maka persamaan 2.8 dapat dirubah menjadi persamaan berikut :

$$dT_{thr} = 4a(1 - a)\frac{1}{2}\rho V^2 2\pi r dr \dots\dots\dots(2.29)$$

Sedangkan torsi yang terjadi adalah sama dengan momentum angular dan wake, yaitu⁹ :

$$dT = \rho V_{AX} r \omega r^2 \pi r dr \dots\dots\dots(2.30)$$

Bila $V_{AX} = V(1-a)$ dan faktor induksi tangensial a' dimasukkan ke dalam persamaan 2.30 akan didapat :

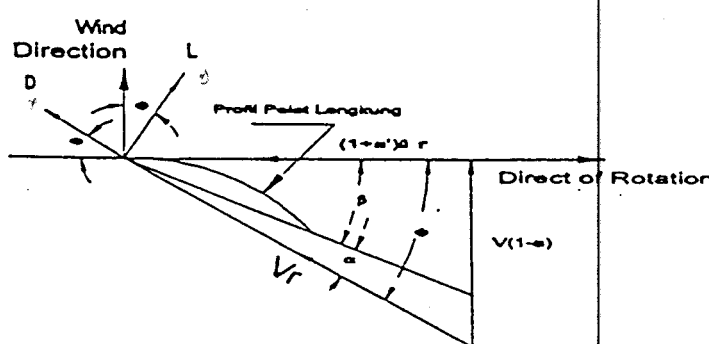
$$dT = 4a'(1 - a')\frac{1}{2}\rho\Omega Vr^2 2\pi r dr \dots\dots\dots(2.31)$$

⁹ Daniel V Hunt, WIND POWER, Hal. 120

3. Teori Elemen Sudu

Pada teori momentum aksial dan teori efek putaran wake seperti yang telah dibahas sebelumnya masih belum terlihat parameter perencanaan yang berhubungan langsung dengan dimensi sudu kincir angin. Pada pembahasan teori elemen sudu ini akan kita dapatkan persamaan yang berhubungan langsung dengan dimensi sudu kincir angin. Yaitu dengan menggabungkan kedua teori sebelumnya dengan teori elemen sudu.

Secara umum teori ini adalah menghitung gaya-gaya (Drag dan Lift) yang terjadi pada suatu potongan penampang airfoil (elemen) sudu kincir angin. Kemudian mengintegralkan sepanjang sudu, selanjutnya dikalikan dengan jumlah sudu yang ada pada suatu rotor kincir angin untuk mendapatkan gaya thrust dan torsinya.



Gambar 2.9. Notasi teori elemen sudu

Notasi yang dipakai dalam analisis ini dapat dilihat pada gambar di atas, sedangkan elemen gaya angkat dan gaya hambat yang terjadi pada elemen sudu diambil dari persamaan 2.23 dan 2.24, selanjutnya ditulis ulang menjadi :

$$L = Cl \frac{1}{2} \rho V_r^2 C_d r \dots\dots\dots(2.32)$$

$$D = Cd \frac{1}{2} \rho V_r^2 C_d r \dots\dots\dots(2.33)$$

Dimana :

C = Panjang tali busur pada elemen sudu

V_r = Kecepatan relatif udara.

Lihat gambar 2.9 diatas, arah putaran sudu kincir angin adalah sejajar dengan sumbu x dan gaya angkat sejajar dengan sumbu y.

Bila gaya-gaya yang bekerja pada elemen sudu diuraikan menurut sumbu y dan sumbu x, akan kita dapatkan gaya thrust dan torsi :

$$dT_{thr} = (dL \cos \phi + Cd \sin \phi) \dots\dots\dots(2.34)$$

$$dT = (dL \sin \phi - Cd \cos \phi) \dots\dots\dots(2.35)$$

Pada rotor yang mempunyai jumlah sudu B dan dengan memasukkan persamaan 3.32 dan persamaan 3.33 maka besarnya gaya thrust dan torsi menjadi :

$$dT_{thr} = (dL \cos \phi + Cd \sin \phi) \frac{1}{2} \rho V_r^2 C B dr \dots\dots\dots(2.36)$$

$$dT = (dL \sin \phi - Cd \cos \phi) \frac{1}{2} \rho V_r^2 C B r dr \dots\dots\dots(2.37)$$

Dari gambar 2.9 besarnya sudut $\tan \phi$ adalah :

$$\tan \phi = \frac{(1-a)V}{(1+a')\Omega R} = \frac{(1-a)}{(1+a')\lambda r} \dots\dots\dots(2.38)$$

Sedangkan besarnya V_r adalah

$$V_r = \frac{(1-a)V}{\sin \phi} = \frac{(1+a')\Omega r}{\cos \phi} \quad \dots\dots\dots(2.39)$$

Dan juga jika lokal Solidity Ratio (σ) didefinisikan¹⁰:

$$\sigma = \frac{BC}{2\pi r} \quad \dots\dots\dots(2.40)$$

Jika persamaan 2.38, 2.39, dan 2.40 dimasukkan ke dalam persamaan 2.36 dan 2.37 akan didapatkan :

$$dT_{thr} = (1-a)^2 \frac{\sigma Cl \cos \phi}{\sin^2 \phi} \left[1 + \frac{Cd}{Cl} \tan \phi \right] \frac{1}{2} \rho V^2 2\pi r dr \quad \dots\dots\dots(2.41)$$

$$dT = (1+a')^2 \frac{\sigma Cl \sin \phi}{\cos^2 \phi} \left[1 - \frac{Cd}{Cl \tan \phi} \right] \frac{1}{2} \rho \Omega^2 r^2 2\pi r^2 dr \quad \dots\dots\dots(2.42)$$

Dengan mengkombinasikan persamaan 2.41 dengan 2.29 dan persamaan 2.42 dengan 2.31 akan didapat persamaan :

$$\frac{4a}{1-a} = \frac{\sigma Cl \cos \phi}{\sin^2 \phi} \left[1 + \frac{Cd}{Cl} \tan \phi \right] \quad \dots\dots\dots(2.43)$$

$$\frac{4a'}{1+a'} = \frac{\sigma Cl}{\cos \phi} \left[1 - \frac{Cd}{Cl \tan \phi} \right] \quad \dots\dots\dots(2.44)$$

¹⁰ Clancy, Aerodynamic, Hal. 565

Karena besarnya Cd/Cl adalah minimum persamaan 2.43 dan 2.44 dapat disederhanakan menjadi :

$$\frac{4a}{1-a} = \frac{\sigma Cl \cos \phi}{\sin^2 \phi} \dots\dots\dots(2.45)$$

$$\frac{4a'}{1+a'} = \frac{\sigma Cl}{\cos \phi} \dots\dots\dots(2.46)$$

Sedangkan hubungan antara a dengan a' adalah sebagai berikut¹¹ :

$$a' = \frac{1-3a}{4a-1} \dots\dots\dots(2.47)$$

Jika persamaan 2.47 disubstitusikan ke dalam persamaan 2.46 kemudian dirupakan fungsi a. Selanjutnya fungsi a, ini disubstitusikan ke dalam persamaan 2.45 akan diperoleh :

$$\sigma Cl = 4(1 - \cos \phi) \dots\dots\dots(2.48)$$

Dengan mensubstitusikan Lokal Solidity Ratio (persamaan 2.40) ke dalam persamaan 2.48 di atas akan didapatkan :

$$C = \frac{8\pi r}{B.Cl}(1 - \cos \phi) \dots\dots\dots(2.49)$$

¹¹ Daniel V Hunt, WIND POWER, Hal. 121

Persamaan diatas dapat digunakan untuk mencari panjang tali busur (C) terhadap tiap-tiap elemen sudut berjarak r dari pusat. Sedangkan besarnya sudut ϕ pada persamaan di atas menurut jansen, WAM adalah sebesar¹² :

$$\phi = \frac{2}{3} \arctan(1 - \cos\phi) \dots \dots \dots (2.50)$$

Dengan besarnya λ_r pada persamaan (2.50) menurut jansen, WAM pula adalah sebesar :

$$\lambda_r = \lambda \frac{r}{R} \quad \dots \dots \dots (2.51)$$

Dari gambar 2.9 besarnya sudut β adalah :

$$\beta = \phi - \alpha \quad \dots \dots \dots (2.52)$$

2.2. DASAR PERHITUNGAN DAYA

Besarnya daya poros yang dihasilkan oleh rotor kincir angin dapat dituliskan sebagai berikut¹³:

¹² Harijono Djojodihardjo, Wind Energy Sistem, Hal. 514

¹³ Majalah LAPAN No. 67, 1993 Hal. 41

Dimana : P_k = Daya kincir angin (Watt)

C_p = Koefisien daya Rotor

ρ_u = Massa jenis udara ($=1,2 \text{ Kg/m}^3$)

V = Kecepatan angin (m/dt)

R = Jari-jari Rotor (m)

Dalam keadaan stasioner, besarnya daya poros dari kincir angin ini harus sama dengan besarnya daya mekanis untuk menggerakkan pompa. Jadi persamaannya :

$$P_{\text{kincir}} = P_{\text{mekanik pompa}} \dots\dots\dots(2.54)$$

Daya mekanis pompa torak dapat dinyatakan sebagai :

$$P_{Kincir} = \frac{P_{\text{hidrolis}}}{\eta_p} \dots\dots\dots(2.55)$$

Dimana : P_{hidrolis} = Daya yang digunakan untuk memompa air tanpa gesekan yang mencakup daya mekanis.

η_p = Effisiensi pompa

Adapun daya hidrolis dapat dihitung dengan persamaan :

$$P_{\text{Hidrolis}} = \rho_w \times g \times H \times q \dots\dots\dots(2.56)$$

Dimana : ρ_w = Massa jenis air laut ($=1025 \text{ Kg/m}^3$)

g = Percepatan gravitasi ($=9,81 \text{ m/dt}^2$)

H = Tinggi pemompaan (m)

q = Jumlah air yang dipompakan (m^3/dt)

Dan besarnya q dapat dinyatakan dengan persamaan :

$$q = \frac{Q \times n}{i} \dots\dots\dots(2.57)$$

Dimana : Q = Volume air yang dipompakan per siklus pemompaan

n = Jumlah putaran rotor per detik (rps)

i = Angka transmisi

Kemudian besarnya Q dihitung dengan persamaan :

$$Q = \frac{\pi}{4} \times d^2 \times s \dots\dots\dots(2.58)$$

Dimana : d = Diameter silinder pompa (m)

s = Panjang langkah torak (m)

Jadi persamaan 2.56 dapat ditulis menjadi :

$$P_{Hidrolis} = \rho_w \times g \times H \times \left(s \times \frac{\pi}{4} \times d^2 \times \frac{n}{i} \right) \dots\dots\dots(2.59)$$

Adapun putaran rotor diperoleh dengan hubungan sebagai berikut :

$$n = \frac{30 \times \lambda \times V}{\pi \times R} \quad (\text{rpm}) \dots\dots\dots(2.60)$$

$$n = \frac{\lambda \times V}{2 \times \pi \times R} \quad (\text{rps}) \dots\dots\dots(2.61)$$

Dimana : n = Putaran rotor

λ = Ratio kecepatan ujung (Tip Speed Ratio)

V = Kecepatan angin rata-rata (m/dt)

R = Jari-jari rotor (m)

Agar dapat memompa air maka daya yang dimiliki oleh kincir angin harus lebih besar dari daya yang digunakan untuk pemompaan, sehingga persamaan 2.55 menjadi :

$$P_{Kincir} > \frac{P_{Hidrolis}}{\eta_P} \dots\dots\dots(2.62)$$

Dengan memasukkan persamaan 2.53, 2.59 dan 2.61 kedalam persamaan 2.62 akan didapat jari-jari kincir angin yaitu :

$$C_p \times 0,5 \times \rho_u \times V^3 \times \pi \times R^2 \times \eta_P > \rho_w \times g \times H \times s \times \frac{d^2 \lambda V}{4 R i}$$

$$R^3 > \frac{\rho_w \times g \times H \times s \times d^2 \times \lambda}{4Cp \times \rho_u \times V^2 \times \pi \times \eta_P \times i} \dots\dots\dots (2.63)$$

2.3. TEORI PERHITUNGAN DATA ANGIN

Data angin sangat besar pengaruhnya dalam perencanaan sudut kincir angin. Untuk memperoleh informasi data angin dapat diperoleh dari stasiun meteorologi dan geofisika terdekat dari rencana lokasi penempatan kincir angin.

Berdasarkan survey langsung di lokasi rencana penempatan kincir angin yang terletak di Kabupaten Sumenep tepatnya di desa Marengan didapatkan kenyataan bahwa lokasi merupakan kawasan pembikinan garam rakyat yang jauh dari bangunan dan pohon-pohon tinggi, sehingga tidak ada gangguan terhadap arah dan besarnya kecepatan angin.

Oleh sebab itu data angin permulaan tahun 1995 dari stasiun cuaca pegaraman I/IV milik PT. GARAM (Persero) Sumenep dapat mewakili keadaan sesungguhnya di desa Marengan Sumenep.

Untuk memperoleh gambaran potensi angin, dari data angin yang ada selanjutnya diolah dan akan digambarkan :

1. Distribusi kecepatan dan arah angin rata-rata dan kecepatan maksimum perbulan.
2. Distribusi relatif arah angin.
3. Distribusi peluang arah dan kecepatan angin.
4. Frekuensi kecepatan angin.

2.3.1. DISTRIBUSI KECEPATAN DAN ARAH ANGIN.

Untuk menyusun diagram kecepatan dan arah angin digunakan rumus sebagai berikut :

1. Kecepatan angin rata-rata.

$$V = \frac{\sum V_i}{N} \dots\dots\dots(2.64)$$

Dimana : V = Kecepatan rata-rata tiap bulan

V_i = Kecepatan tiap hari

N = Jumlah hari

2. Distribusi arah angin rata-rata.

Distribusi arah angin rata-rata adalah arah angin yang paling banyak terjadi selama waktu pengamatan.

2.3.2. FREKUENSI KECEPATAN ANGIN

Frekuensi kecepatan angin menyatakan distribusi jumlah hari berlangsungnya kecepatan angin tertentu per tahun, dinyatakan sebagai persentase terhadap jumlah hari pengamatan selama setahun.

Untuk memperoleh frekuensi kecepatan angin dipergunakan rumus :

$$P(V) = \frac{T(V)}{\Sigma T(V)} \times 100\% \dots\dots\dots(2.65)$$

Dimana : $P(V)$ = Kemungkinan bertiupnya angin dengan kecepatan V .

$T(V)$ = Jumlah hari bertiupnya angin dengan kecepatan V per tahun.

$\Sigma T(V)$ = Jumlah hari pengamatan per tahun.

2.3.3. DISTRIBUSI PELUANG ARAH DAN KECEPATAN ANGIN

Informasi ini berguna untuk menentukan arah dan kecepatan angin utama, untuk mempertimbangkan orientasi suatu kincir angin yang notornya mempunyai kedudukan arah yang tetap. Harga prosentasi frekuensi komutatif range kecepatan dengan arah tertentu didefinisikan oleh rumus :

$$P(>V) = \frac{T(>V)A}{\Sigma T(>V)A} \times 100\% \dots\dots\dots(2.66)$$

Dimana :

$T(>V)A$ = Jumlah jam komulatif kecepatan V , dibanding dengan arah A per tahun.

$\Sigma T(>V)A$ = Jumlah total jam komulatif kecepatan V , dilampaui dengan arah A selama waktu pengamatan.

$P(>V)$ = Prosentase frekuensi komulatif range kecepatan dengan arah tertentu.

BAB III

PEMILIHAN PARAMETER

PERENCANAAN KINCIR ANGIN

Adanya variasi-variasi pada berbagai jenis Sistem Konversi Energi Angin (SKEA) menyebabkan unjuk kerja yang dihasilkan oleh suatu kincir angin akan berbeda-beda. Variasi-variasi ini disebabkan adanya beberapa faktor yang mempengaruhi hasil perencanaan suatu kincir angin. Faktor-faktor perencanaan ini selanjutnya disebut sebagai parameter perencanaan kincir angin.

Sehingga untuk memanfaatkan energi angin melalui suatu SKEA sebaiknya diketahui lebih dahulu karakteristik kerja dari alat-alat atau pesawat yang akan digerakkan sehingga dengan adanya karakteristik kerja yang sesuai antara kincir angin yang dikehendaki dengan alat yang digerakkan akan didapatkan hasil yang memuaskan. Namun dengan adanya variasi-variasi itu pula, sehingga memungkinkan untuk pemanfaatan energi angin dalam berbagai kebutuhan.

Bertitik tolak pada hal-hal di atas, maka pemilihan parameter perencanaan SKEA perlu dilakukan. Oleh sebab itu perlu diketahui sifat-sifat dan pengaruh parameter-parameter itu terhadap karakteristik kincir angin.

3.1. KECEPATAN ANGIN RATA-RATA

Kecepatan angin rata-rata penting artinya dalam perencanaan suatu SKEA, karena dengan ini akan dapat diestimasikan beban perencanaan dan daya keluar rata-rata yang hendak dihasilkan. Disamping itu perlu juga diketahui bagaimana karakteristik angin bertiup, distribusi kecepatan angin sepanjang tahunnya. Maka dari itu survey potensi angin dilakukan untuk mendapatkan data di atas.

Dari survey data angin yang telah dilakukan di desa Marengan-Kalianget dan setelah dilakukan perhitungan-perhitungan menurut persamaan 2.64 terhadap data yang didapatkan dari stasiun cuaca Pegaraman I/IV PT. GARAM (Persero) Sumenep dibuatkan tabel berikut (tabel 3.1)

TABEL 3.1

DISTRIBUSI ARAH DAN KECEPATAN ANGIN TAHUN 1995

BULAN ARAH		J	P	M	A	M	J	J	A	S	O	N	D	RATA ²
		B	B	B	TGR	TGR	TGR	TGR	TGR	TGR	TGR	TGR	B	TGR
V	V _{mak}	2,2	2,6	2,8	3,5	3,9	4,6	5,3	4,9	4,3	5,8	3,5	3,7	-
m/dt	V _{rata²}	1,4	1,2	1,2	1,9	2,7	3,1	3,4	3,17	3,14	2,8	1,8	1,7	2,3
	V _{min}	0,8	0,5	0,7	0,7	0,9	1,7	1,5	1,4	2,5	1,3	0,5	1,0	-

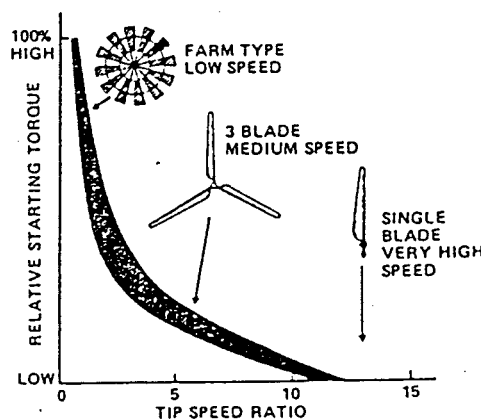
Besarnya kecepatan angin rata-rata adalah 2,3 m/dt dan arah angin yang paling dominan ialah dari arah tenggara.

Data-data mengenai Distribusi Relatif Arah Angin, Distribusi Angin dan Distribusi Peluang Arah dan Kecepatan Angin terdapat pada lampiran A.

3.2. TIP SPEED RATIO (λ)

Harga Tip Speed Ratio juga menentukan karakteristik keluaran dari SKEA. Hal ini dapat dilihat dari persamaan 2.21, dengan keluaran daya yang sama kincir angin mempunyai Tip Speed Ratio yang tinggi akan menghasilkan torsi yang kecil. Sedangkan SKEA dengan Tip Speed Ratio yang rendah akan menghasilkan torsi yang besar.

Dari gambar 3.1 dapat ditetapkan besarnya Tip Speed Ratio kincir angin untuk memompa air di lahan pemiritan ditetapkan sebesar 3 ($\lambda=3$). Hal ini disebabkan karena pompa torak relatif membutuhkan torsi awal yang cukup besar untuk mengangkat air¹⁴.



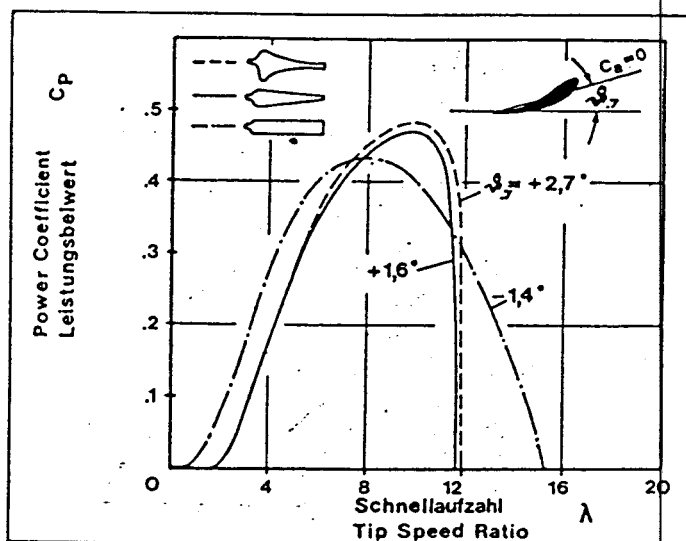
Gambar 3.1. Tip Speed Ratio Vs Torsi

¹⁴ Majalah LAPAN NO. 66, 1993 Hal 43

3.3. GEOMETRI SUDU

3.3.1. DISRTIBUSI CHORD (C)

Distribusi Chord sepanjang sudu secara ideal akan berbentuk hiperbolik, tetapi dengan bentuk ideal ini akan dialami kesulitan dalam pembuatannya. Sehingga dicari bentuk penyederhananya yaitu dengan berbentuk trapesium dan rectangular. Tentu saja dengan adanya penyederhanaan akan mengalami kerugian daya, lihat gambar 3.2 di bawah ini.



Gambar 3.2. Pengaruh Tip Speed Ratio dan bentuk geometri sudu terhadap koefisien daya

Untuk perencanaan ini dipilih bentuk sudu rectangular, disebabkan sudu rectangular merupakan bentuk sudu yang paling mudah dibuat dibandingkan dengan dua bentuk lainnya.

3.3.2. DISTRIBUSI KETEBALAN SUDU

Sedang distribusi ketebalan sudu akan memberikan pengaruh jika sudu ini semakin tebal maka beratnya pun akan bertambah. Dengan berat sudu bertambah akan diikuti dengan naiknya kerugian daya. Tetapi ketebalan sudu juga diperlukan untuk memperkuat struktur terhadap beban-beban yang ditanggungnya. Untuk mengatasi hambatan kerugian akibat berat yang berlebihan dan beban yang diterima dapat dipilih material yang ringan, harganya murah dan keuatannya memadai.

3.4. JUMLAH SUDU (B)

Dalam SKEA ideal diasumsikan mempunyai jumlah sudu yang tak terhingga, sedangkan pada kenyataannya hal ini tidak mungkin dapat dilakukan karena sudu mempunyai ketebalan. Sehingga jumlah sudu suatu sistem kincir angin akan terbatas jumlahnya.

Pada kenyataannya jumlah sudu yang bervariasi akan didapatkan unjuk kerja yang berbeda-beda pula. Penentuan jumlah sudu dalam perencanaan sebenarnya akan mempertimbangkan kegunaan, jenis rotor yang digunakan dan kondisi operasi yang dikehendaki.

Hal pokok yang perlu diketahui bahwa dengan jumlah sudu yang semakin banyak akan menambah beban konstruksi sehingga akan memerlukan konstruksi yang kuat pula dan berarti bahwa biaya pembuatan akan semakin

meningkat. Ada beberapa pertimbangan yang perlu diketahui dalam penentuan jumlah sudu, dengan rotor yang terdiri atas satu hingga dua sampai sudu lebih dari tiga, yaitu

A. Keuntungan rotor dengan sudu majemuk (lebih dari 3 sudu)

1. Beban tiap sudu kecil.
2. Start awal lebih mudah.
3. Mempunyai torsi awal yang cukup besar.
4. Torsi yang dihasilkan besar.
5. Tingkat kebisingan yang ditimbulkan lebih rendah.

B. Keburukan yang dimiliki rotor dengan sudu majemuk adalah :

1. Dibutuhkan ratio transmisi yang besar.
2. Beban aksial menara atau tower besar.
3. Biaya pembuatan lebih mahal.

C. Keuntungan rotor dengan jumlah sudu kurang atau sama dengan dua :

1. Beban tower lebih kecil.
2. Dapat bekerja pada putaran tinggi.
3. Sistem transmisi kecil.
4. Biaya pembuatan lebih murah.

D. Keburukan yang dimiliki rotor dengan sudu kurang atau sama dengan dua :

1. Beban tiap sudu besar.
2. Start awal sukar.

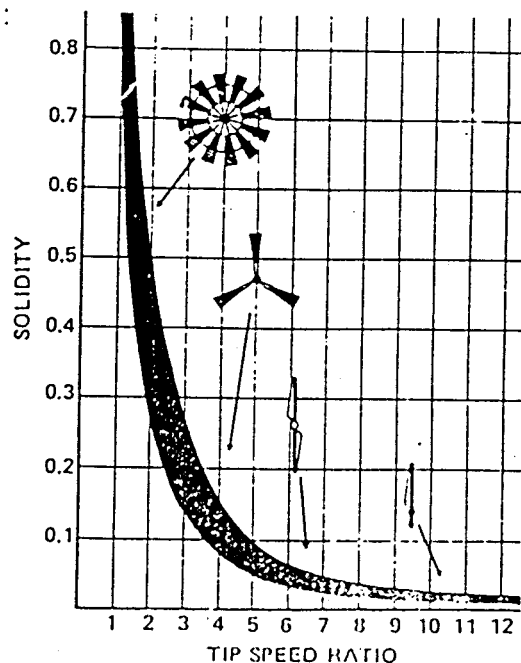
3. Torsi awal yang dimiliki kecil.
4. Torsi yang dihasilkan lebih kecil.
5. Lebih berisik.

3.5. SOLIDITY (σ)

Solidity (σ) didefinisikan sebagai perbandingan luas sudu dengan luas lintasan sudu. Pengaruh dari harga Solidity dapat dijelaskan sebagai berikut :

Dengan Solidity yang semakin tinggi akan menyebabkan luasan sudu atau jumlah sudu rotor bertambah sehingga torsi yang dihasilkan akan besar sehingga untuk keluaran daya tertentu putaran yang dihasilkan akan kecil, atau dengan kata lain akan mengurangi Tip Speed Ratio (λ).

Hubungan antara Solidity dengan Tip Speed Ratio dapat dilihat pada gambar di bawah ini :



Gambar 3.3. Hubungan Solidity dengan Tip Speed Ratio

3.6. HUBUNGAN ANTARA TIP SPEED RATIO DENGAN JUMLAH SUDU

Hubungan ini didasarkan atas penelitian yang telah dilakukan ¹⁵. Hubungan antara jumlah sudu dengan Tip Speed Ratio dapat dilihat pada tabel 3.2.

Berdasarkan pada tabel 3.2 dapat ditentukan jumlah sudu menurut Tip Speed Ratio yang dipilih. Untuk Tip Speed Ratio yang ditetapkan sebesar 3 ($\lambda=3$), didapatkan jumlah sudu kincir angin untuk perencanaan ini yaitu sebanyak 4 buah.

**TABEL 3.2.
TABEL TIP SPEED RATIO**

NO.	Tip Speed Ratio (λ)	Jumlah Sudu (B)
1	1	6-20
2	2	4-12
3	3	3-6
4	4	2-4
5	5-8	2-3
6	8-15	1-2

3.7. AIRFOIL

Jenis Airfoil yang akan digunakan untuk sudu kincir angin sangat berpengaruh terhadap unjuk kerja yang dihasilkan kincir angin. Pada bab kedua telah diuraikan hubungan antara profil airfiol dengan koefisien Lift dan Drag yang dihasilkan, serta sudut serang efektif untuk mendapatkan kemampuan terbaiknya.

¹⁵ Harijono Djojodihardjo, Wind Energy Sistems, Hal. 518

Untuk jenis airfoil profil pelat lengkung 10 %, didapatkan sudut serang efektifnya yaitu sebesar $3,6^\circ$. Selanjutnya sudut serang ini digunakan sebagai sudut serang rencana.

3.8. JARI-JARI KINCIR ANGIN (R)

Untuk mendapatkan besarnya sudut puntir pada sudut kincir angin perlu diketahui besarnya diameter atau jari-jari kincir angin. Besarnya jari-jari kincir angin didasarkan pada kebutuhan daya yang digunakan untuk memompa air ke lahan peminihan dan kecepatan angin rata-rata dilokasi Desa Marengan Sumenep.

BAB IV

PERHITUNGAN SUDU KINCIR ANGIN

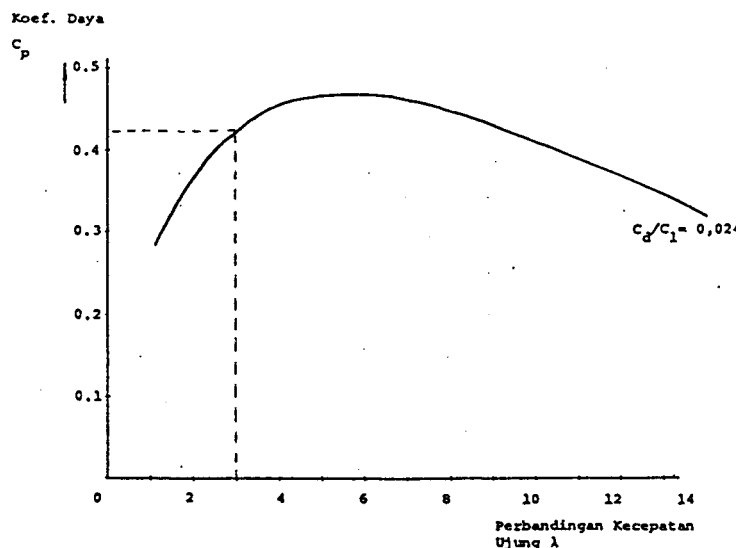
4.1. PERHITUNGAN JARI-JARI KINCIR ANGIN

Untuk menghitung jari-jari kincir angin terlebih dahulu dihitung daya mekanis yang digunakan untuk menggerakkan pompa. Data-data teknis yang diambil di lapangan :

- Luas lahan yang akan dialiri air = 400 m.²
- Tinggi air di lahan peminihan = 0,3 m.
- Volume air di lahan peminihan = 120 m³
- Kapasitas pemompaan yang diinginkan = $1,67 \times 10^{-3}$ m³ / dt
- Diameter silinder pompa = 4 " = 0,1016 m.
- Putaran rotor per detik = 0,9 rps

Dari persamaan 2.57 dan 2.58 dapat dihitung panjang langkah torak minimal yaitu :

$$S = \frac{4 \times Q}{\pi d^2} = \frac{4 \times q \times i}{\pi d^2 n} = \frac{4 \times 1,67 \times 10^{-3} \times 1}{3,14 \times (0,1016)^2 \times 0,9}$$
$$= 0,229 \text{ m} \sim 0,23 \text{ m}$$



Gambar 4.1. Grafik C_p - λ dari Pelat Lengkung 10% pada $Re = 2 \times 10^5$

Selanjutnya jari-jari kincir angin dihitung dengan menggunakan persamaan 2.63 yaitu :

$$R^3 > \frac{\rho_w \times g \times H \times s \times d^2 \times \lambda}{4C_p \times \rho_u \times V^2 \times \pi \times \eta_P \times i}$$

dengan memasukkan harga-harga :

$$S = 0,23 \text{ m}$$

$$d = 0,1016 \text{ m}$$

$$H = 0,4 \text{ m}$$

$$i = 1^{16}$$

$$\lambda = 3$$

$C_p = 0,425$; dari grafik $C_p-\lambda$ ¹⁷ gambar 4.1 untuk $\lambda = 3$

$$V = 2,3 \text{ m} / \text{dt}$$

$$\eta_P = 0,5$$
¹⁸

$$\rho_w = 1025 \text{ Kg/m}^3$$

$$\rho_u = 1,2 \text{ Kg/m}^3$$

$$g = 9,81 \text{ m/dt}^2$$

Sehingga didapatkan jari-jari kincir angin sebesar :

$$R^3 > \frac{1025 \times 9,81 \times 0,4 \times 0,23 \times (0,1016)^2 \times 3}{4 \times 0,425 \times 1,2 \times 2,3^2 \times 3,14 \times 0,5} \times 1$$

$$R^3 > 1,69$$

$$R > 1,19 \sim 1,2 \text{ m}$$

Selanjutnya $R = 1,2 \text{ m}$ digunakan untuk kebutuhan perhitungan selanjutnya.

4.2. RANCANGAN BENTUK SUDU KINCIR ANGIN

Rancangan bentuk sudu kincir rencana ditujukan untuk mendapatkan ukuran tali busur (Chord) dan sudut kisar (Twist), sehingga diperlukan data tentang C_l , dan C_d yang dapat diperoleh dari diagram polar C_l-C_d dari pelat lengkung 10% serta

¹⁷ Majalah LAPAN No. 24, 1982 Hal. 16

¹⁸ Majalah LAPAN No. 67, 1993 Hal. 44

diagram Cl- α , maka beberapa besaran pokok dapat ditetapkan. Selanjutnya data teknis untuk rancangan sudu rotor dapat dituliskan lagi secara lengkap sebagai berikut :

Diameter kincir (D) = 2,4 m.

Jumlah sudu (B) = 4 buah.

Perbandingan kecepatan ujung (λ_o) = 3

Sudu rotor profil pelat lengkung 10 %

Ratio koefisien gaya tahan/angkat (C_d/C_l)_{min} = 0,024 pada $Re = 2 \times 10^5$

Koefisien gaya angkat rencana C_{l_o} = 1,10

Sudut serang rencana (α_o) = 3,6°

Besarnya tali busur C dan sudut kisar β dalam perhitungan ini ditentukan berdasarkan kondisi $(C_d/C_l)_{\text{minimum}}$ dan sudut serang α konstan sepanjang jari-jari.

Untuk memperoleh besarnya tali busur C dan sudut kisar β digunakan persamaan berikut :

$$Cl = \frac{8\pi r(1 - \cos \phi)}{B \times Cl_o} \dots\dots\dots (2.49)$$

$$\phi = \frac{2}{3} \arctan \left(\frac{1}{\lambda_r} \right) \dots\dots\dots (2.50)$$

$$\lambda_r = \frac{\lambda_o r}{R_k} \dots\dots\dots (2.51)$$

$$\beta = \phi - \alpha \dots\dots\dots (2.52)$$

Dimana : λ_r = Tip Speed Ratio pada titik r

r = Jarak dari pusat kincir (m)

Rk = Jari-jari kincir (m)

α = Sudut serang

β = Sudut kisar

C = Panjang tali busur (m)

Cl_o = Koefisien of Lift

Selanjutnya jari-jari Rotor (Rk) dibagi dalam 10 bagian yang sama dan besarnya tali busur C dan Sudut kisar β untuk tiap penampang sudu dapat dihitung dengan menggunakan rumus diatas. Hasilnya dapat dilihat pada tabel 4.1 untuk bentuk sudu ideal.

Tabel 4.1

Bentuk Sudu Ideal

No. Penampang	r (m)	λ_r	ϕ (°)	α (°)	(1-cos ϕ)	β (°)	C (m)	
1	0,1	0,12	0,28	49,68	3,6	0,353	46,08	0,24
2	0,2	0,24	0,55	40,68	3,6	0,242	37,08	0,33
3	0,3	0,36	0,83	33,52	3,6	0,166	29,92	0,34
4	0,4	0,48	1,11	28,05	3,6	0,118	24,45	0,32
5	0,5	0,60	1,39	23,89	3,6	0,086	20,29	0,29
6	0,6	0,72	1,66	20,69	3,6	0,065	17,095	0,27
7	0,7	0,84	1,94	18,19	3,6	0,050	14,59	0,24
8	0,8	0,96	2,22	16,196	3,6	0,040	12,596	0,22
9	0,9	1,08	2,49	14,58	3,6	0,032	10,96	0,20
10	1,0	1,2	2,77	13,24	3,6	0,027	9,64	0,182

Untuk mengurangi kesulitan pembuatan, dilakukan linearisasi panjang tali busur dan sudut kisar. Untuk itu, kita perhatikan bahwa 75 % daya mekanis yang diperoleh dari rotor dihasilkan oleh setengah bagian sudut dari $0,5 R_k$ keatas.

Demikian pula dengan memperlihatkan adanya daya yang kecil pada ujung sudu, maka liniarisasi panjang tali busur dan sudut kisar ini dilakukan pada daerah sudu antara $0,5 \text{ Rk}$ sampai $0,9 \text{ Rk}$ ¹⁹.

Liniarisasi panjang tali busur dan sudut kisar ini dilakukan dengan menuliskan persamaan berikut :

Dengan mengambil harga C dan β pada $r = 0,60$ m ($0,5 R_k$) dan $r = 1,08$ m ($0,9 R_k$), maka besarnya harga konstanta C_1, C_2, C_3 , dan C_4 dapat dihitung, sehingga diperoleh :

$$\beta = -19,4375r + 31,9525 \quad (°) \dots\dots\dots(4.4)$$

¹⁹ Majalah LAPAN No. 22, 1981 Hal. 42

Hasil liniarisasi sebagaimana dicakup pada persamaan 4.3 dan 4.4 ditunjukkan dalam tabel 4.2.

Tabel 4.2.
Hasil Liniarisasi C dan β pertama

No. Penampang	r (m)	β (°)	C (m)
1	0,12	29,62	0,38
2	0,24	27,286	0,356
3	0,36	24,955	0,335
4	0,48	22,623	0,313
5	0,60	20,29	0,29
6	0,72	17,958	0,268
7	0,84	15,625	0,245
8	0,96	13,293	0,226
9	1,08	10,96	0,2
10	1,20	8,628	0,178

Untuk memudahkan suatu lebih lanjut, maka bentuk suatu rotor dapat disederhanakan dengan membuat panjang tali busur konstan sepanjang jari-jari. Tentunya hal ini akan mempengaruhi daya yang dihasilkan tetapi dalam perencanaan selanjutnya ukuran tali busur dipilih sedemikian rupa sehingga daya yang hilang akibat perubahan geometri suatu dari kofigurasi daya optimum ke konfigurasi tali busur konstan diusahakan sekecil mungkin, yaitu dengan menentukan harga Cd/C1 pada setiap penampang mendekati minimum (0,024).

Dari rata-rata panjang tali busur pada tabel 4.2 didapatkan $C = 0,27 \text{ m}$ yang konstan sepanjang sudu dari pangkal sampai ujung sudu. Persamaan 2.49 dapat diubah menjadi :

$$Cl = \frac{8\pi r(1 - \cos \phi)}{B \times C} \dots\dots\dots (4.5)$$

Dengan : $B = 4$, $C = 0,28$ sehingga :

$$Cl = \frac{8\pi r(1 - \cos \phi)}{4 \times 0,28} \dots\dots\dots (4.6)$$

Dengan menggunakan persamaan 4.6 koefisien gaya angkat sepanjang sudu (jari-jari) dapat dihitung. Besarnya sudut kisar β dapat dibentuk dengan menggunakan grafik $Cl - \alpha$, dan hasilnya diperlihatkan pada tabel 4.3.

Tabel 4.3.
Liniarisasi Tali Busur (C) konstan

No. Penampang	r (m)	λ_r	ϕ (°)	$(1-\cos \phi)$	Cl	Cd	Cd/Cl	α (°)	β (°)
1	0,12	0,28	49,68	0,353	0,95	0,038	0,040	1,5	48,18
2	0,24	0,55	40,68	0,242	1,30	0,044	0,034	6,5	34,18
3	0,36	0,83	33,52	0,166	1,34	0,049	0,037	7	26,52
4	0,48	1,11	28,05	0,118	1,27	0,042	0,038	6	22,05
5	0,60	1,39	23,89	0,086	1,15	0,034	0,0295	4	19,89
6	0,72	1,66	20,69	0,065	1,04	0,035	0,034	2,4	18,295
7	0,84	1,94	18,19	0,050	0,94	0,038	0,040	1,2	16,99
8	0,96	2,22	16,196	0,040	0,86	0,039	0,046	0,4	15,796
9	1,08	2,49	14,58	0,032	0,78	0,040	0,051	-0,8	15,375
10	1,2	2,77	13,24	0,027	0,72	0,040	0,056	-1,2	14,44

Dari tabel 4.3. dapat dilihat bahwa besarnya sudut kisar β bervariasi secara tidak linier sepanjang sudu. Penyederhanaan lebih lanjut dapat diakukan mengikuti prosedur sebelumnya yang menggunakan $r = 0,5 \text{ Rk}$ dan $r = 0,9 \text{ Rk}$ sebagai dasar liniarisasi. Selanjutnya dapat ditulis sebagai berikut :

$$\beta = C5r + C6 \quad (\circ) \dots\dots\dots(4.7)$$

Dimana : β = Sudut kisar (°)

$C5, C6$ = Konstanta yang dicari.

Apabila harga β pada $r = 0,60 \text{ m}$ ($0,5 \text{ Rk}$) dan $r = 1,08 \text{ (0,9 Rk)}$ digunakan untuk menghitung $C5$ dan $C6$ diperoleh :

$$\beta = -9,3958r + 25,0275 \dots\dots\dots(4.8)$$

Hasil liniarisasi sudut kisar yang diberikan oleh persamaan 4.8 dapat dilihat pada tabel 4.4.

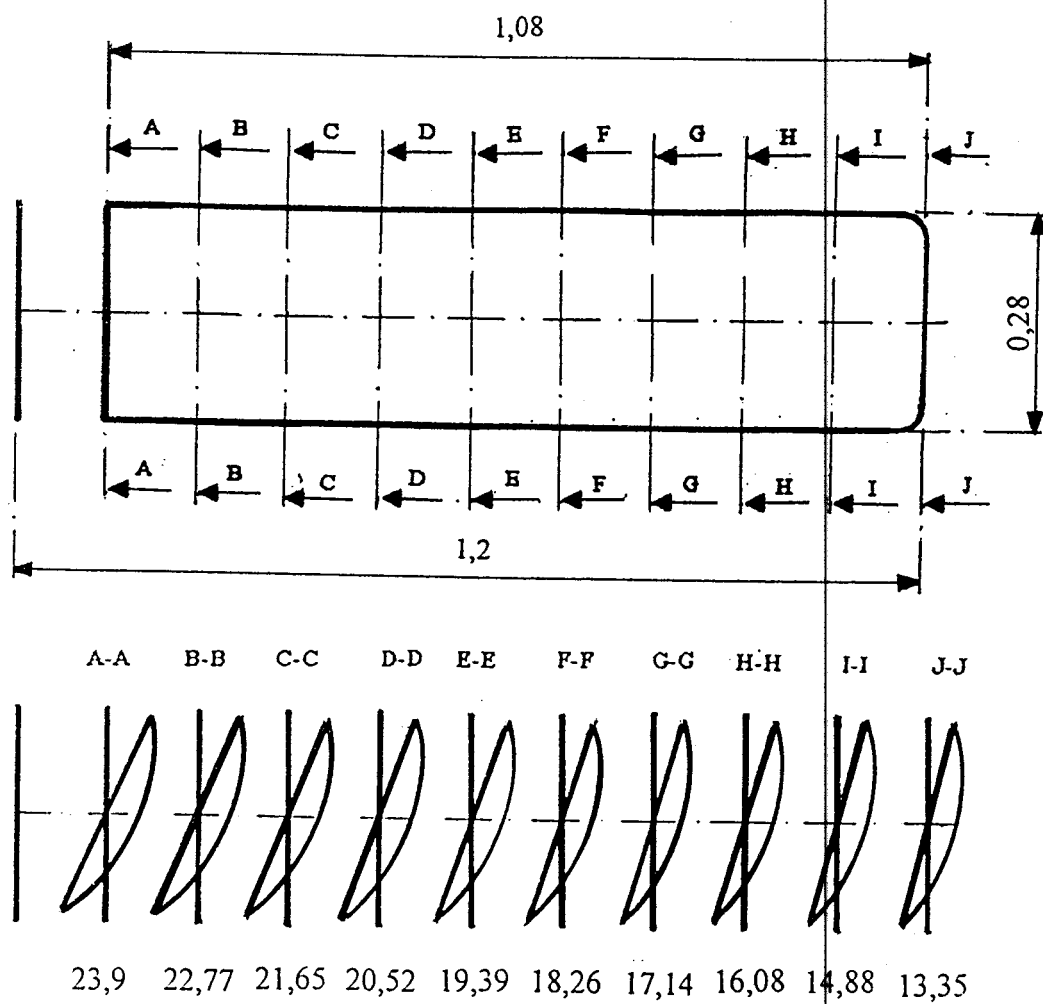
Tabel 4.4
Bentuk sudu setelah liniarisasi kedua

No. Penampang	r (m)	C (m)	β (°)
1	0,12	0,28	23,9
2	0,24	0,28	22,77
3	0,36	0,28	21,65
4	0,48	0,28	20,52
5	0,60	0,28	19,39
6	0,72	0,28	18,26
7	0,84	0,28	17,14
8	0,96	0,28	16,08
9	1,08	0,28	14,98
10	1,2	0,28	13,35

Dari tabel 4.4 diatas dapat ditarik kesimpulan bahwa bentuk sudu dengan profil pelat lengkung 10 % setelah liniarisasi mempunyai panjang tali busur (C) = 0,28 m dan jari-jari kincir angin 1,2 m, besarnya sudut kisar (β) pada pangkal (root) dan ujung (tip) yaitu :

$$\beta_{\text{Pangkal}} = 23,9^\circ$$

$$\beta_{\text{Ujung}} = 13,35^\circ$$



Gambar 4.2. Konfigurasi Sudu Kincir Angin

BAB V

KESIMPULAN DAN SARAN

5. 1. KESIMPULAN

Dari hasil perhitungan yang telah dilakukan, dapat diambil kesimpulan sebagai berikut :

1. Kincir angin sudu berprofil pelat lengkung 10 % untuk menggerakkan pompa torak untuk pengisian lahan peminikan di Desa Marengan dapat diterapkan. Bila pompa dapat bekerja dengan baik maka pengisian air laut akan berjalan lancar sehingga proses penuaan air laut di lahan peminikan akan semakin cepat pula .
2. Sudu kincir angin dalam perencanaan ini dapat juga diterapkan di daerah yang mempunyai kecepatan angin yang relatif rendah .

5. 2. SARAN

1. Perlu dikumpulkan data angin yang lebih banyak lagi (5 sampai dengan 10 tahun) untuk mendapatkan gambaran potensi energi angin yang lebih akurat.

2. Untuk mempercepat proses perhitungan sudu kincir angin, sebaiknya digunakan sarana bantu program komputer.
3. Material yang digunakan sebaiknya menggunakan kayu karena harganya murah dibandingkan dengan Fiberglass dan tahan karat jika dibandingkan dengan pelat, selain harganya murah dan konstruksinya ringan .

DAFTAR PUSTAKA

- 1. Budi Atmoko, Merancang, Membuat dan Menerbangkan Pesawat Model, Elex Media Komputindo, 1991.**
- 2. Clancy LJ, AERODYNAMICS, Pizman Publishing Limited, Great Britain, 1975.**
- 3. Daniel V Hunt, WIND POWER
A Hand Book on WIND ENERGY CONVERSION SYSTEM
Litton Educational Publishing Inc, New York, 1981.**
- 4. Darwin Sembayang, Analisa Data Angin di Jakarta Untuk Pemanfaatan Energi Angin, Majalah LAPAN NO. 14 Tahun 1978.**
- 5. Harijono Djojodihardjo, WIND ENERGY SYSTEMS
Alumni, Bandung, 1983.**
- 6. Harijono Djojodihardjo dan Sulistyo Atmadi, Perencanaan Kincir Angin Propeler Pelat Lengkung Untuk Pengisian Baterei Jenis EN-P-02 XA, Majalah LAPAN NO. 24 Tahun 1982.**

7. Robert W Fox, **Introduction To Fluid Mechanics**
John Willey And Sons, Mew York, 1985.
8. Soeripno, **Rancangan Subsistem Mekanik Kincir Angin Sudu Majemuk 4 Daun Untuk Pemompaan Air Tambak Garam / Tambak Udang, Majalah LAPAN NO. 66 Tahun 1993.**
9. Soeripno, **Perancangan Pompa Torak Kincir Angin Untuk Pemompaan Air Tambak Garam dan Air Tawar Dangkal, Majalah LAPAN NO. 67 Tahun 1993.**
10. Sugiarmadji dan Harijono Djojodihardjo, **Merancang Kincir Angin Sudu Majemuk Untuk Memompa Air / Pertanian Jenis EN-SM-03, Majalah LAPAN NO. 22 Tahun 1981.**

**DATA IKLIM IKLIMBABA & PENGUAPAN STASIUN CUACA
PEGARAHAN I/IV SUMENEP DARI TGL. 1 S/D 31 JANUARI 1995**

Tgl.	Kelembaban R.H (%)			Temperatur (C)		Penguapan air Dalam (mm/hr)			Kec. Angin Rata-2	Sinar Matahari Dalam Dls(m/dot) (%)	Arab	Curah Hujan (mm)	Tek. Udara (m/b)
	Luar	D.W	Rata-2	Max	Min	Tawar	Laut	Tua	Angin				
1	75	76	75,5	28	24	-	-	-	1,6	0	BRT	26,00	1020
2	78	77	77,5	30	24	3,7	2,7	1,3	1,0	20	TGR	-	1019
3	77	77	77,0	30	24	3,9	2,6	1,4	0,9	40	TMR	-	1019
4	76	76	76,0	30	24	4,0	2,7	1,5	1,2	59	TGR	-	1019
5	78	84	81,0	28	24	3,5	2,3	1,1	1,5	5	BRT	-	1020
6	76	84	80,0	28	24	-	-	-	0,8	30	BRT	45,50	1020
7	75	62	68,5	30	24	3,9	2,8	1,3	0,9	30	TMR	-	1019
8	76	76	76,0	30	24	6,6	4,5	2,1	1,2	55	BRT	-	1019
9	75	76	75,5	30	24	3,2	2,2	1,1	0,9	10	BRT	2,00	1019
10	76	92	84,0	27	23	-	-	-	1,9	0	BRT	57,00	1020
11	84	92	88,0	27	23	-	-	-	1,1	5	BRT	70,00	1020
12	85	76	80,5	27	25	-	-	-	2,0	0	BRT	9,00	1020
13	85	92	88,5	27	23	3,0	2,1	1,0	1,9	0	PPT	-	1020
14	85	83	84,0	29	23	-	-	-	2,2	0	PPT	4,00	1020
15	85	83	84,0	29	23	3,1	2,1	1,1	1,7	15	BRT	-	1020
16	88	92	90,0	29	23	2,9	1,7	1,3	2,1	0	PPT	1,00	1020
17	86	92	89,0	29	23	-	-	-	1,5	0	BRT	12,00	1020
18	88	70	79,0	29	25	3,7	2,8	1,4	1,1	20	BRT	-	1020
19	84	70	77,0	30	24	3,5	2,6	1,2	1,7	15	BRT	-	1019
20	87	84	85,5	30	24	-	-	-	1,4	30	BRT	10,00	1020
21	87	84	85,5	29	23	3,5	2,4	1,1	1,6	0	BRT	2,00	1020
22	87	92	89,5	29	23	-	-	-	1,9	0	BRT	10,00	1020
23	84	92	88,0	29	24	3,6	2,4	1,1	1,8	20	BRT	4,00	1019
24	81	30	80,5	29	24	3,4	2,2	1,1	1,1	0	BRT	-	1019
25	76	76	76,0	29	24	3,7	2,8	1,2	1,1	34	PRT	1,50	1019
26	79	84	81,5	29	25	-	-	-	1,0	0	PRT	28,00	1019
27	78	76	76,0	29	25	3,6	2,9	1,3	1,0	15	PRT	1,50	1019
28	76	77	76,5	29	24	3,6	2,5	1,2	1,0	29	BRT	-	1020
29	76	76	77,5	29	23	-	-	-	1,1	15	PRT	29,00	1020
30	79	92	85,5	29	23	-	-	-	1,2	25	BRT	5,00	1020
31	79	92	46,0	29	23	-	-	-	1,4	0	UTR	6,00	1020
JUMLAH	2.501	2.535	2.479,0	396	736	66,4	46,3	22,8	41,9	450		323,50	31.608
RATA-2	80,68	81,77	79,97	20,90	23,74	3,69	2,57	1,27	1,4	23,68	BRT	17,03	1.020

Sumenep, tgl. 1 Februari 1995
an. Ba.Bag.Peg.I/IV Sumenep
Masie Pemal. Meain

Iri Sudarmo

Koordinator

LAMPIRAN A

TUGAS AKHIR - 60

DATA-DATA IKLIM KELEMBABAN DAN PENGUAPAN
PERIODE I/IV SUMENEP DARI TGL. 1 S/D 28 FEBRUARI 1995

No.	KELEMBABAN R.H (%)		TEMPEMERATUR (°C)		PENGUAPAN AIR DALAM(mm/hari)		KEC. ANGIN DITAWARILAUT		SIRIHARAH DICURAHITEK.		HUTAHARI HUJANI UDARA (%)		
	LUAR D.F	DITAWARILAUT MAX.	MAX.	MIN.	DITAWARILAUT	DITAWARILAUT	IGARAH (m/detik)	ANGIN (m)	(m/b)	BRT.	"	"	
1.	79	92	85,5	29	23	-	-	-	1,3	10	BRT.	10,0	1020
2.	80	84	82	29	24	-	-	-	1,4	20	"	19,0	1020
3.	77	76	76,5	29	24	-	-	-	0,8	30	"	26,0	1020
4.	80	89	80	29	24	-	-	-	1,2	..	"	25,0	1020
5.	80	85	80	29	24	-	-	-	1,1	20	"	21,0	1020
6.	80	92	86	29	23	-	-	-	1,4	20	"	16,5	1020
7.	80	91	82,5	27	23	-	-	-	1,0	5	"	13,0	1020
8.	82	84	83	28	24	2,9	2,1	1,1	1,2	20	"	GARIS	1020
9.	83	83	83	27	24	-	-	-	1,5	..	"	5,0	1020
10.	81	80	80,5	30	24	3,1	2,7	1,3	1,4	20	"	-	1019
11.	81	84	82,5	29	24	-	-	-	1,4	..	"	16,0	1020
12.	80	76	78	30	24	6,1	5,8	2,6	1,2	55	"	-	1019
13.	76	84	81	28	24	-	-	-	1,1	5	"	24,0	1020
14.	80	84	82	29	24	3,2	2,6	2,1	2,6	10	"	-	1020
15.	79	76	77,5	29	24	-	-	-	0,5	..	"	6,0	1020
16.	79	77	73	30	24	-	-	-	0,6	15	"	12,0	1019
17.	79	76	78	30	24	-	-	-	1,5	40	"	15,0	1019
18.	80	92	85	28	24	-	-	-	1,2	20	"	5,5	1020
19.	79	60	79,5	29	24	-	-	-	1,0	30	"	16,5	1020
20.	80	76	78	28	24	-	-	-	1,0	25	BRT.	4,0	1020
21.	78	77	77,5	30	23	-	-	-	1,4	55	BRT.	21,0	1019
22.	80	77	76,5	28	24	3,5	2,1	2,1	1,2	55	BRT.	-	1020
23.	79	77	78	29	24	6,6	4,9	3,7	1,0	25	"	-	1020
24.	78	80	79	30	24	-	-	-	2,6	25	"	23,0	1019
25.	79	77	73	30	24	-	-	-	1,1	35	TM.	16,5	1019
26.	79	76	77,5	29	24	5,8	3,6	2,9	0,9	45	BRT.	GARIS	1020
27.	80	84	82	28	24	-	-	-	1,0	20	"	41,5	1020
28.	80	84	83	28	24	-	-	-	1,5	..	"	35,0	1020
29.	80	82	82,5	608	669	31,9	23,8	15,8	34,5	65	-	306,5	28555
30.	80	80	80,5	28	24	4,5	3,4	2,2	1,2	20	BRT.	18,0	1020

Sumenep, 19 Maret 1995
Kep. Balai Teknik I/IV Sumenep

Irin. H. Thohir, Bantah Jap
NPK. 0700 343

LAMPIRAN A

TUGAS AKHIR - 61

DATA-DATA IKLIM KELEMBABAN DAN PENGUAPAN CUACA
PERIODE I/IV SUMENEP DARI TGL. 1 S/D. 31 MARET 1995

TGL.	KELEMBABAN R.H						PENGUAPAN AIR		ANGIN		SINAR MATAHARI			CURAH HUJAN	
	LUAR	D.W	IRATA21	MAX.1	HIN.1	ITAWARILAUT	IRAGAMI	DALAM(m/m/hari)	IRATA2DALAM	ANGIN(m/detik)	(%)	(mm)	(m/b)		
1.	80	84	82	28	24	-	-	-	0,8	-	BARAT	40,5	1020		
2.	80	84	82	28	24	-	-	-	0,9	-	"	7,5	1020		
3.	79	76	77,5	30	24	2,8	2,2	1,6	1,7	20	"	-	1020		
4.	79	84	81,5	29	24	2,9	2,1	1,5	1,6	-	"	-	1020		
5.	80	84	82	28	24	-	-	-	2,0	-	"	13,0	1020		
6.	80	84	82	28	24	2,6	2,1	1,5	1,9	-	"	-	1020		
7.	78	76	77	29	24	-	-	-	1,3	15	"	2,5	1020		
8.	79	76	77,5	30	24	3,4	2,6	1,9	1,2	30	"	-	1049		
9.	79	77	78	30	24	3,4	2,7	2,1	0,7	35	TENGGARA	-	1019		
10.	79	76	77,5	30	24	-	-	-	0,7	10	"	0,0	1019		
11.	79	77	78	30	24	-	-	-	1,0	25	"	24,0	1019		
12.	79	84	81,5	28	24	-	-	-	0,9	30	BARAT	22,5	1020		
13.	80	84	82	28	24	2,5	2,0	1,5	0,8	-	"	4,0	1020		
14.	77	70	73,5	30	24	5,9	4,8	3,4	1,2	55	TENGGARA	-	1019		
15.	79	77	78	30	24	3,5	2,8	2,1	1,0	40	"	-	1019		
16.	79	77	78	30	24	5,5	4,7	3,2	1,5	50	"	-	1019		
17.	80	84	82	28	24	-	-	-	1,1	35	BARAT	9,5	1020		
18.	80	84	82	28	24	-	-	-	1,2	25	"	11,0	1020		
19.	79	77	78	29	24	3,5	2,6	2,1	0,9	40	"	-	1020		
20.	80	84	82	28	24	-	-	-	0,9	40	"	25,0	1020		
21.	80	76	78	29	24	-	-	-	0,9	20	"	2,5	1020		
22.	80	84	82	28	24	2,4	2,0	1,5	1,2	15	"	GRIS	1020		
23.	78	77	77,5	30	24	6,8	6,1	5,4	1,3	90	TENGGARA	-	1019		
24.	78	77	77,5	32	24	6,9	6,2	5,4	1,7	95	"	-	1018		
25.	79	77	78	31	24	6,6	5,9	4,9	2,8	85	TIMUR	-	1019		
26.	78	84	81	30	24	-	-	-	1,4	30	"	6,5	1020		
27.	79	76	77,5	30	24	3,6	2,7	2,2	1,5	40	UTARA	-	1019		
28.	68	62	65	32	24	6,4	5,2	3,9	1,1	20	TENGGARA	-	1018		
29.	70	63	66,5	32	24	6,3	5,2	3,8	1,1	20	"	-	1019		
30.	75	76	75,5	30	24	3,2	2,6	1,9	1,1	75	BARAT GRIS	1019			
31.	65	77	71	29	24	5,4	4,7	3,1	1,1	50	"	-	1020		
32.	24,15	24,28	23,65,5	912	744	83,6	69,2	53,0	38,5	1050	-	172,5	31604		
33.	27,9	28,3	26,3	29,4	24	4,4	3,6	2,7	1,2	42	BARAT	14,7	1019		

Sumenep, tgl. 3 April 1995
Ko.Bantuan I/IV Sumenep,

Ira. Thohir Mantadjan
DIK. 8700 322

LAMPIRAN A

TUGAS AKHIR - 62

DATA - DATA IKLIM-TELENBABAAN & PERGUAPAK CUACA
PERGARAHAN I/IV SUMENEP DARI TGL. 1 s/d 30 April 1995

Tgl.	Kelenbaban		Suhu (°C)	Pengarapan air Dalam (mm/hr)	Ict. Rata-2	Sinar Malahari Dalam	Arab	Curah Hujan	Tek. Udara		
	Max	Min									
1	71	77	75,5	30,0	21	-	-	1,10	25	BET	12,50
2	75	70	72,5	32,0	24	3,6	2,6	2,2	15	BET	-
3	80	81	85,5	28,0	24	2,1	2,0	1,4	15	UTR	11,50
4	73	76	77,0	28,0	21	-	-	-	19	BET	13,00
5	69	73	71,0	29,0	25	2,0	2,1	2,0	15	SLT	-
6	71	69	70,0	30,0	25	-	-	-	5	BET	21,00
7	78	76	77,0	28,0	25	-	-	1,70	0	BET	7,00
8	76	77	76,5	30,0	21	2,8	2,3	1,8	0	SAT	-
9	71	77	75,5	31,0	25	-	-	-	40	BET	22,00
10	78	81	81,0	28,0	21	3,3	2,5	2,1	0,70	UTR	-
11	71	78	74,5	31,0	25	3,5	2,8	2,1	69	UTR	4,00
12	71	77	75,5	31,0	25	-	-	-	70	TGR	10,50
13	70	70	70,0	32,0	24	6,8	6,2	3,8	1,30	TGR	-
14	70	70	70,0	32,0	25	6,8	6,2	3,9	1,80	TGR	-
15	74	77	75,5	39,0	24	5,4	4,6	3,1	1,40	TGR	-
16	73	77	75,0	32,0	24	5,6	4,7	3,2	1,50	TGR	-
17	72	76	74,0	39,0	24	5,6	4,6	3,1	1,30	UTR	-
18	71	63	67,0	32,0	24	6,9	6,1	3,8	1,60	TGR	-
19	70	63	67,0	39,0	24	6,5	5,1	3,5	2,00	TGR	-
20	65	73	67,5	32,0	26	6,9	6,3	3,7	1,50	TGR	-
21	68	63	64,5	32,0	25	6,9	6,3	3,6	1,20	TGR	-
22	65	62	63,5	32,0	25	6,9	6,2	3,4	2,40	TGR	-
23	69	63	61,5	33,0	25	7,0	6,3	3,5	2,30	TGR	-
24	61	62	61,5	32,0	24	6,9	6,2	3,4	2,00	TGR	-
25	63	70	63,0	32,0	24	7,0	6,3	3,5	1,20	TGR	-
26	65	63	67,0	39,0	24	-	-	-	10	TGR	9,00
27	71	77	75,5	30,0	24	-	-	-	15	TGR	9,00
28	76	77	76,5	30,0	24	-	-	-	70	TGR	3,50
29	77	77	77,0	29,0	24	6,5	6,7	3,2	2,40	TGR	3,00
30	77	77	77,0	29,0	24	6,5	6,7	3,2	50	TGR	3,00
31	80	76	70,0	29,0	24	2,1	2,0	1,5	2,40	TGR	10,20
<hr/>											
JUMLAH: 2157 2138 2177,5 215 730 111,7 96,4 61,0 57,2 1565 1 102 30574											
DATA 2: 71,0 73,06 73,6 10,50 24,33 5,32 4,59 2,34 1,9 52,83 TGR 11,1 1012											

Sumenep, 1 Agustus 1995
Fa. Bag. Peg. I/IV Sumenep

Ir. M. Thohir Mochadjib,

KK. 4700.322

**DATA - DATA IKHLAS KELEMBARAN & PENGUAPAN CUNCA
PEGARUMAH 1/IV SUMENEP DARI TGL. 1 s/d 31 M A R S 1993**

Tgl.	Ketinggian		Temperatur		Penyebaran air		Kec.		Sinar		Surah	Tek.	
	R.H (%)	(°C)			Dalam (mm/hr)		Angin	Matahari	Rata-rata	Pada			
	luar : A.W	(Patah-7)	Max	Min	Tair	Laut	Jauh	(010±±±±±±±)	%	Barat	(m/h)		
1	77	77	71,0	19,0	24	3,3	7,5	1,7	2,40	35	THR	-	
2	75	77	75,5	21,0	24	5,5	5,2	2,6	3,00	75	SCR	1019	
3	73	77	77,5	21,0	25	5,4	5,1	2,5	3,00	70	THR	-	
4	72	76	72,5	30,0	24	3,3	4,4	2,1	2,70	45	THR	7,00	
5	74	76	75,0	30,0	24	6,1	5,7	2,3	2,70	60	THR	-	
6	72	70	71,0	32,0	24	6,5	5,3	2,6	3,50	75	TPR	-	
7	78	77	77,5	30,0	24	3,2	4,1	2,0	3,40	45	TPR	-	
8	78	77	77,5	31,0	24	6,3	4,9	2,5	2,70	70	ISR	-	
9	71	70	70,5	32,0	24	6,6	5,0	2,9	3,10	125	TPR	-	
10	70	70	70,0	32,0	25	6,8	4,1	3,0	2,10	176	TPR	-	
11	59	63	64,0	32,0	25	6,7	4,2	3,0	2,10	12	TPR	-	
12	69	70	69,5	30,0	24	3,2	4,3	1,1	2,20	12	TPR	-	
13	59	70	67,5	32,0	25	6,0	4,8	2,4	0,90	44	TPR	-	
14	68	56	67,0	31,0	25	5,6	4,6	2,3	3,10	50	TPR	-	
15	57	67	69,0	32,0	25	6,6	5,6	2,8	2,80	30	TPR	-	
16	55	53	64,0	32,0	25	6,9	5,6	2,5	2,00	90	TPR	-	
17	76	77	76,5	29,0	24	2,4	1,9	1,0	2,80	15	TPR	2,30	
18	77	77	77,0	32,0	24	-	-	-	2,70	17	THR	-	
19	72	70	71,0	30,0	25	6,7	4,8	2,3	3,70	50	TPR	-	
20	72	76	77,5	30,0	24	6,6	4,7	2,5	2,00	70	TPR	-	
21	70	70	70,0	32,0	24	6,8	4,9	2,4	1,70	30	TPR	-	
22	72	73	74,5	30,0	25	5,9	4,6	2,1	1,30	53	TPR	-	
23	53	52	67,5	32,0	24	6,9	4,2	2,4	3,60	85	TPR	-	
24	50	51	61,0	33,0	25	6,8	5,3	2,6	3,70	20	TPR	-	
25	49	62	61,0	32,0	24	6,7	5,4	2,7	1,30	139	TPR	-	
26	78	76	77,0	32,0	24	4,9	5,3	2,6	2,10	17	TPR	-	
27	73	77	75,0	31,0	24	-	-	-	2,30	17	TPR	-	
28	36	96	89,0	30,0	24	5,5	4,6	7,3	7,50	50	TPR	1020	
29	73	77	76,0	31,0	25	6,7	5,3	2,6	2,50	90	TPR	0,50	
30	61	61	61,0	31,0	25	6,9	5,4	2,7	3,20	70	TPR	-	
31	63	67	67,5	37,0	25	7,0	5,5	2,7	3,20	90	TPR	-	
JUMLAH		2204	2210	2207	965	734	177,4	140,4	57,1	83,6	2159	-	28,5
RATA-RAT		71,1	71,1	71,1	37,1	13,1	128,32	6,12	4,01	2,58	2,7	40,37	4,7
PERBEDAAN		71,1,02	71,1,77	71,1,37	13,1,03	128,32	6,12	4,01	2,58	2,7	40,37	4,7	

Sequoyah, Okla., 1 April 1973
Ka-Ban, Org. 1117 Success

Ka-Ben, Inc., 1/17 Success

**DATA - DATA CELAH KELARUAN & PENGUAPAN CUACA
PEGARAMAN I/IV SUMENEP DARI TGL. 1 s/d 30 Juni 1973**

Tgl.	Kelembaban		Suhu (°C)	Penguapan air Dalam (mm/hr)	Kec.	Sinar Matahari Rata-2	Angin Rata-2	Data Luar : D.M : Rata-2 : Max : Min : Tair : Laut : Tua (Nm/m²/det) : Z	Curah Hujan : (mm)	Tit. Udara (%/b)	
	R.H (%)	B.H (%)									
1	61	61	61,0	32,0	25	7,0	5,6	2,7	1,70	90	TGR
2	69	66	67,5	31,0	23	7,0	5,3	2,7	2,70	70	TGR
3	72	76	74,0	31,0	24	6,7	4,7	2,3	3,00	70	TGR
4	70	73	71,5	32,0	24	-	-	-	3,10	75	TGR
5	80	77	76,5	30,0	24	6,6	5,4	2,6	2,80	70	TGR
6	77	73	75,0	32,0	25	6,6	5,3	2,6	3,90	70	TGR
7	79	77	78,0	30,0	24	6,8	5,4	2,7	3,00	85	TGR
8	76	70	73,0	30,0	24	-	-	-	2,80	75	TGR
9	80	80	80,0	30,0	24	6,8	5,3	2,7	2,40	75	TGR
10	74	70	72,0	30,0	25	6,8	5,3	2,7	3,00	80	TGR
11	73	73	73,0	30,0	24	5,2	4,1	2,1	3,00	40	TGR
12	74	73	73,5	31,0	23	6,8	5,4	2,7	2,60	80	TGR
13	74	73	73,5	31,0	25	7,0	5,6	2,8	3,20	90	TGR
14	70	70	70,0	32,0	26	7,0	5,5	2,0	3,80	90	TGR
15	78	77	77,5	31,0	24	6,7	4,6	2,4	3,80	75	TGR
16	80	77	78,5	30,0	24	3,5	2,2	1,1	2,70	35	TGR
17	82	84	83,0	29,0	24	2,4	2,0	1,1	2,00	5	TGR
18	78	76	77,0	29,0	24	-	-	-	3,70	70	TGR
19	77	84	81,5	29,0	24	-	-	-	4,60	50	TGR
20	81	81	81,0	29,0	24	-	-	-	3,60	45	TGR
21	79	77	78,0	30,0	24	-	-	-	2,00	40	TGR
22	78	76	77,0	30,0	24	3,6	2,4	1,1	2,20	40	TGR
23	78	76	77,0	30,0	24	7,0	5,3	2,8	2,50	90	TGR
24	69	70	69,5	32,0	24	6,8	5,5	2,7	2,70	80	TGR
25	78	76	77,0	30,0	24	2,6	2,2	1,1	2,70	10	TGR
26	75	73	74,0	32,0	24	6,7	5,6	2,7	3,70	80	TGR
27	80	76	78,0	30,0	24	3,7	2,5	2,2	3,60	40	TGR
28	71	60	67,5	32,0	24	6,0	5,4	2,7	4,00	80	TGR
29	70	67	69,5	32,0	24	7,0	5,6	2,8	4,00	90	TGR
30	73	73	73,0	32,0	24	7,0	5,3	2,0	3,60	70	TGR
JUMLAH : 2250 : 2225 : 2241,5 : 917 : 728 : 144,3 : 117,3 : 56,7 : 93 : 1770 :											BB : 30537
RATA-RATA : 73,26 : 74,16 : 74,7 : 30,63 : 24,26 : 6,01 : 4,68 : 2,37 : 3,1 : 65,87 : 180 : 7,3 : 1018,7 :											

Surabaya, tgl. 1 Juli 1973
Ka.Dag.Prg.I/IV Surabaya

I.N. Mulyadi Mustadiyah,

NIP. 0700 521

LAMPIRAN A

TUGAS AKHIR - 65

**DATA IKLIM KALEMPABAN & PENGUAPAN STASIUN CUACA
PEGARAMAN 1/17 SUKSES DARI TGL. 1 S/D 31 JULI 1995**

Tgl.	Kelembaban R.H (%)		Temperatur (°C)		Pengukuran air Dalam (mm/hr)		Kec. Angin Matahari Rata-2		Sinar Matahari Palem		Curah Hujan (mm)		Tek. Udara (m/b)	
	Imar	D.W	Rata-2	Max	Min	Taraf	Isot	Tara	(D)(m/detik)	(X)	Angin	(mm)	(m/b)	
1	76	73	74,5	32	24	6,8	5,3	2,7	3,7	30	TGR	-	1018	
2	77	76	76,5	31	24	6,9	5,4	2,7	4,1	35	TGR	-	1019	
3	69	69	68,5	30	24	3,7	2,4	1,2	2,0	45	TGR	-	1019	
4	72	73	72,5	30	24	6,7	5,2	2,6	1,5	45	TGR	-	1019	
5	69	69	68,5	31	25	7,0	5,5	2,7	3,1	50	TGR	-	1018	
6	69	69	68,5	32	25	-	-	-	2,7	50	TGR	6,50	1018	
7	80	81	82,0	30	24	-	-	-	2,9	30	TGR	12,00	1019	
8	81	81	81,0	29	24	-	-	-	2,7	29	TGR	21,00	1020	
9	81	81	80,5	30	24	6,5	5,1	2,6	3,8	75	TMR	0,50	1019	
10	80	77	78,5	33	24	3,8	2,5	1,3	5,3	45	TMR	1,50	1019	
11	76	76	76,0	31	24	7,0	5,6	2,8	4,2	95	TMR	-	1019	
12	71	73	72,0	31	24	6,6	5,1	2,3	3,2	70	TMR	-	1018	
13	70	69	69,0	32	21	5,1	4,3	2,2	3,1	85	TMR	-	1019	
14	68	69	69,0	30	21	1,8	3,0	1,9	3,2	10	TGR	-	1018	
15	65	64	64,5	32	23	6,9	5,4	2,8	2,7	35	TGR	-	1018	
16	F4	60	F2,0	22	25	7,0	5,5	2,7	3,2	90	TGR	-	1018	
17	68	69	68,0	32	24	7,0	5,6	2,7	3,2	80	TGR	-	1018	
18	75	76	75,5	32	24	6,8	5,3	2,7	3,6	45	TGR	-	1019	
19	72	72	72,0	30	24	6,9	5,4	2,7	3,4	70	TGR	-	1019	
20	F1	68	60,0	30	24	6,6	5,2	2,6	2,3	70	TGR	-	1018	
21	68	68	68,0	32	24	7,0	5,5	2,8	3,5	90	TGR	-	1018	
22	75	75	75,0	31	24	6,6	5,1	2,6	3,7	70	TMR	-	1018	
23	73	72	72,5	32	24	6,8	5,4	2,7	4,2	90	TGR	-	1019	
24	71	72	71,5	30	24	7,0	5,6	2,8	3,2	95	TGR	-	1017	
25	66	64	65,0	32	24	7,1	5,6	2,8	3,4	90	TGR	-	1017	
26	60	60	60,0	32	24	7,1	5,6	2,8	4,2	110	TGR	-	1017	
27	66	68	67,0	32	25	7,2	5,6	2,8	4,0	90	TGR	-	1018	
28	67	67	67,0	32	24	7,1	5,6	2,8	3,2	95	TGR	-	1017	
29	63	64	63,5	32	25	7,2	5,7	2,8	3,4	75	TGR	-	1018	
30	60	62	62,0	32	24	6,9	5,5	2,7	3,4	100	TGR	-	1017	
31	63	63	68,0	32	25	7,2	5,7	2,8	3,8	100	TGR	-	1017	
JUMLAH:		2.191	2.186	{2.1PM,5}	DEG	751	183,7	140,5	71,8	105,3	2.335	41,50	31.568	
P/TA-2:		70,50	70,52	70,60	31,16	24,23	6,56	5,13	2,56	3,40	75,97	TGR	0,79	1018

Susenep, Tel. J. Penetan 1035
In Reg. Fec. 1/17 Susenep

Dr. H. Theoharis Mantadilab.

LAMPIRAN A

TUGAS AKHIR - 66

**DATA IKLIM KALENDAR & PENGUAPAN STASIUN CUACA
PERGARAHAN 1/IV SUMEREP DARI TGL. 1 S/D 31 AGUSTUS 1995**

TA.	Kelembaban R.H (%)			Temperature (C)		Pengarupan air Dalam (mm/dc)			Kec. Angin Rata-2	Sinar Matahari Dalam (%)	Arus Angin (m/s)	Cerah Rajaan	Tek. Udara		
	Luar	D.R	Rata-2	Max	Min	Tamat	Isian	Tos	Dlm(m/det)	(%)	(m/s)	(m/b)			
1	65	66	64,5	32	25	7,1	5,5	2,7	3	99	TGR	-	1017		
2	66	68	67,0	32	25	6,9	5,5	2,7	1,4	99	TGR	-	1017		
3	63	60	61,5	33	25	7,2	5,6	2,8	1,9	100	TGR	-	1017		
4	62	60	61,0	32	25	7,2	5,7	2,8	2,7	100	TGR	-	1017		
5	65	65	65,0	33	25	7,1	5,6	2,7	2,8	98	TGR	-	1019		
6	66	68	67,0	30	24	4,8	3,8	1,9	3,8	99	TGR	-	1019		
7	70	68	69,0	31	24	6,9	5,4	2,7	3,3	99	TGR	-	1018		
8	67	65	65,0	32	24	6,9	5,5	2,7	3,1	99	TGR	-	1018		
9	67	68	67,5	32	24	7,0	5,6	2,7	3,5	99	TGR	-	1017		
10	60	69	60,0	33	25	7,2	5,7	2,8	3,1	99	TGR	-	1017		
11	59	60	59,5	33	25	7,2	5,6	2,8	2,9	95	TGR	-	1017		
12	68	68	68,0	33	25	7,0	5,6	2,8	2,0	99	TGR	-	1017		
13	65	65	65,0	33	25	6,9	5,5	2,7	4,9	99	TGR	-	1017		
14	62	64	63,0	32	24	7,1	5,6	2,8	2,8	95	TGR	-	1017		
15	60	60	60,0	32	25	7,2	5,6	2,8	4,3	95	TGR	-	1016		
16	60	59	59,5	33	25	7,2	5,6	2,8	4,3	95	TGR	-	1017		
17	61	53	60,0	32	25	7,2	5,6	2,7	3,5	95	TGR	-	1016		
18	58	59	58,5	32	25	7,2	5,6	2,8	3,2	95	TGR	-	1016		
19	53	57	57,5	33	25	7,2	5,6	2,8	2,5	95	TGR	-	1016		
20	53	57	57,5	33	25	7,3	5,6	2,8	3,2	95	TGR	-	1016		
21	55	67	66,0	31	25	6,8	5,2	2,6	2,8	75	TGR	-	1017		
22	60	60	60,0	32	25	7,2	5,6	2,7	2,7	95	TGR	-	1018		
23	71	63	69,5	32	25	7,3	5,6	2,0	2,7	95	TGR	-	1017		
24	68	65	65,5	32	25	7,3	5,7	2,0	2,9	95	TGR	-	1016		
25	61	61	62,5	33	25	7,3	5,7	2,8	3,7	95	TGR	-	1016		
26	62	60	61,0	33	25	7,3	5,6	2,8	3,4	95	TGR	-	1016		
27	61	60	60,5	33	25	7,3	5,7	2,8	3,7	95	TGR	-	1016		
28	63	63	63,0	33	25	7,0	5,5	2,7	3,1	90	TGR	-	1016		
29	69	61	60,5	33	25	7,1	5,5	2,8	3,9	95	TGR	-	1016		
30	61	61	61,0	32	25	7,1	5,6	2,8	3,2	95	TGR	-	1017		
31	56	57	56,5	33	25	7,2	5,6	2,8	3,2	95	TGR	-	1016		
JUMLAH			1.955	1.913	1.919,0	1.003	770	218,7	171,1	84,7	38,3	2.785	0,00	31.525	
RATA-2			63,06	62,63	62,37	32,35	21,84	7,05	5,52	2,73	3,17	83,81	TGR	0,09	1017

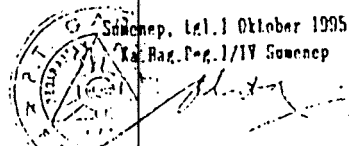
Stamps: tel. 1 September 1995
La. Reg. Reg. 1/18 Stamps

Mr. R. The Sir Bantam fab.

**DATA JILID IX KEMBARA & PENGUAPAN STASIUN CUACA
PERGARAHAN I/IV SUMENEP DARI TGL. 1 S/D 30 SEPTEMBER 1995**

Tgl.	Kelembaban R.H (%)		Temperatur (°C)		Penguapan air Dalam (mm/hr)			Kec. Angin Rata-2	Sinar Matahari	Curah Hujan		Tek. Udara	
	Luar	D.W	Rata-2	Max	Min	Tawar	Iant	Tua	Dlm(m/det)	(%)	Angin	(mm)	(m/b)
1	58	57	57,5	33	25	7,2	5,6	2,8	3,1	93	TGR	-	1016
2	59	58	58,5	33	24	7,1	5,5	2,7	2,6	93	TGR	-	1016
3	64	61	64,0	32	24	6,9	5,4	2,7	3,3	80	TGR	-	1018
4	55	53	56,5	33	24	7,1	5,5	2,8	2,5	93	TGR	-	1017
5	63	61	62,0	33	25	6,9	5,5	2,7	2,8	80	TGR	-	1016
6	61	61	61,0	33	25	6,9	5,4	2,7	2,8	70	TGR	-	1016
7	61	61	61,0	33	24	7,0	5,5	2,7	2,9	93	TGR	-	1016
8	66	68	67,0	31	24	6,9	5,4	2,7	3,4	80	TGR	-	1018
9	58	58	58,0	33	25	7,0	5,5	2,7	2,7	90	TGR	-	1016
10	63	61	63,5	32	24	6,9	5,4	2,7	2,6	80	TGR	-	1017
11	57	58	57,5	32	24	7,0	5,6	2,7	3,2	90	TGR	-	1016
12	67	68	67,5	30	24	6,9	5,5	2,7	3,7	80	TGR	-	1018
13	61	61	61,0	32	24	7,0	5,5	2,8	4,3	93	TGR	-	1017
14	65	65	65,0	32	24	7,0	5,6	2,8	3,5	90	TGR	-	1016
15	57	57	57,0	32	25	7,1	5,6	2,8	4,1	93	TGR	-	1016
16	58	57	57,5	33	25	7,0	5,5	2,8	3,7	93	TGR	-	1016
17	58	57	57,5	33	24	7,1	5,6	2,8	2,8	93	TGR	-	1018
18	60	61	60,5	32	24	7,0	5,5	2,7	2,7	90	TGR	-	1016
19	62	61	61,5	32	25	7,1	5,5	2,8	3,3	90	TGR	-	1017
20	60	60	60,0	33	25	7,1	5,6	2,8	3,5	93	TGR	-	1017
21	59	58	58,5	33	25	7,1	5,6	2,7	3,2	90	TGR	-	1016
22	58	58	58,0	33	25	7,1	5,6	2,8	3,0	90	TGR	-	1016
23	58	58	58,0	32	25	6,9	5,5	2,8	2,8	80	TGR	-	1017
24	59	61	60,0	33	25	7,1	5,5	2,7	2,9	90	TGR	-	1016
25	53	55	51,0	33	25	6,9	5,5	2,7	2,7	80	TGR	-	1017
26	57	58	57,5	32	25	6,9	5,6	2,7	2,9	85	TGR	-	1018
27	55	57	56,0	33	25	6,9	5,6	2,8	3,1	85	TGR	-	1017
28	58	61	59,5	33	25	7,0	5,6	2,8	3,4	90	TGR	-	1017
29	55	54	54,5	32	25	6,9	5,6	2,7	3,5	85	TGR	-	1017
30	68	60	60,5	30	24	6,9	5,6	2,7	3,2	85	TGR	-	1018
JUMLAH	1.793	1.804	1.798,5	971	737	299,9	165,9	82,3	94,2	2.640		0,00	30.497
RATA-RAT	59,77	60,13	59,85	32,37	24,57	7,00	5,53	2,74	3,14	88,00	TGR	0,00	1.017

Sumenep, Lel. 1 Oktober 1995
Kab. Bag. Per. I/IV Sumenep



I.M. Thohir Mardajab.

N.I.K. 8700 322

**DATA NILAI KELEMBABAAN & PENGUAPAN STASIUN CUACA
PERIODE 1/IV SUMBERP DARI TGL. 1 S/D 31 OKTOBER 1995**

Tgl.	Kelembaban		Suhu (°C)	Penguapan air Dalam (mm/hr)	Rec. Suhu Bata-2 Max	Sinar Matahari Bata-2 Min	Angin Arus	Curah Hujan	Tek. Udara		
	R.H (%)	D.W									
	luar	D.W	Bata-2	Max	Min	Tawar	Lant	Yos (dm²/m²/dkt)	(X)	Angin (m/s)	(m/h)
1	68	68	68,0	32	24	7,0	5,6	2,8	3,5	90	TGR
2	63	65	64,0	32	24	6,8	5,5	2,7	3,4	85	TGR
3	55	54	54,5	33	25	6,8	5,4	2,7	2,5	90	TGR
4	60	60	60,0	32	25	6,0	5,5	2,7	2,7	85	TGR
5	57	59	58,0	33	25	6,8	5,4	2,6	3,0	75	TGR
6	60	61	60,5	32	24	6,8	5,5	2,6	2,6	70	TGR
7	51	50	50,5	33	25	6,8	5,5	2,7	2,9	90	TGR
8	57	58	57,5	32	24	6,8	5,4	2,5	2,8	70	TGR
9	57	57	53,0	32	25	6,7	5,3	2,5	3,3	70	TGR
10	61	7	51,5	32	25	6,7	5,3	2,6	2,9	70	TGR
11	66	66	66,0	32	21	6,8	5,4	2,7	2,1	80	TGR
12	63	62	62,5	32	25	7,0	5,5	2,7	3,6	80	TGR
13	68	66	67,0	32	25	7,0	5,6	2,7	3,6	80	TGR
14	62	62	62,0	33	25	7,0	5,5	2,3	2,8	80	TGR
15	57	58	57,5	33	25	7,1	5,6	2,3	2,5	90	TGR
16	62	62	62,0	32	25	7,1	5,5	2,8	2,4	85	TGR
17	59	59	59,0	33	25	7,2	5,5	2,8	3,1	90	TGR
18	63	63	63,0	33	25	7,1	5,6	2,7	2,8	90	TGR
19	53	51	53,5	33	25	7,0	5,5	2,7	3,5	80	TGR
20	50	51	50,5	33	29	7,1	5,6	2,8	2,7	80	TGR
21	60	59	50,5	32	29	6,8	5,4	2,7	1,5	75	TGR
22	65	68	66,5	32	21	6,4	5,2	2,5	1,9	40	TGR
23	52	50	51,0	33	25	-	-	-	1,4	50	TGR
24	63	65	61,0	31	24	6,6	5,2	2,5	1,3	60	TGR
25	61	66	65,0	32	24	6,7	5,2	2,5	1,4	75	TGR
26	66	66	66,0	33	25	6,5	5,1	2,4	1,5	70	TGR
27	70	72	71,0	31	25	6,2	4,8	2,4	5,0	50	TGR
28	68	70	69,0	31	21	7,1	5,5	2,8	3,9	80	TGR
29	45	47	46,0	33	25	7,2	5,6	2,8	2,6	90	TGR
30	50	50	50,0	33	25	7,2	5,5	2,8	2,4	90	TGR
31	53	52	52,5	33	25	7,2	5,5	2,8	3,3	90	TGR
JUMLAH: 1.010 + 1.061 + 1.856,0 + 1.003 + 783 + 206,4 + 162,8 + 80,1 + 85,8 + 2.300 + - + 14,00 + 31.614											
RATA-RATanya: 59,61 + 60,13 + 59,87 + 32,45 + 24,71 + 6,66 + 0,53 + 2,58 + 2,8 + 76,77 + TGR + 14,00 + 1.017											

Surabaya, (Sel.) November 1995
(Kab. Bdg. Peg) 1/IV Surabaya

Ir. H. Thohir Muntadjab,

N.I.K. 0700 322

LAMPIRAN A

TUGAS AKHIR - 69

DATA-DATA IKLIM KEMDABAN DAN PENGUAPAN
PERIODE I/IV SUMENEP DARI TGL. 1 S/D. 31 NOVEMBER 1995

TGL.	KELEMBABAN R.H (%)	TEMPERATUR (°C)	PENGUAPAN AIR DALAM(mm/hari)			KEC. ANGIN (m/detik)	CUACA						
			MAX.	MIN.	ITAWARILAUT								
1.	60	62	61	33	25	7,3	5,6	2,8	3,1	90	TGR.	-	1017
2.	55	55	55	34	25	7,2	5,6	2,8	3,0	90	"	-	1017
3.	66	66	66	32	24	7,0	5,5	2,7	3,3	80	"	19,0	1017
4.	60	61	60,5	33	25	-	-	-	3,5	85	"	-	1016
5.	65	65	65	32	24	7,0	5,4	2,7	3,5	80	"	-	1017
6.	66	65	65,5	32	25	-	-	-	2,7	75	"	11,5	1018
7.	70	69	69,5	32	24	6,5	5,2	2,5	2,2	40	"	2,0	1018
8.	69	69	69	29	24	-	-	-	1,9	35	BTR.	6,0	1020
9.	65	66	65,5	31	24	7,0	5,2	2,7	2,6	80	TGR.	-	1018
10.	67	69	68	31	24	7,1	5,4	2,7	3,0	85	"	-	1018
11.	67	66	66,5	32	24	7,0	5,5	2,6	2,3	80	"	-	1018
12.	70	73	71,5	31	24	-	-	-	2,5	60	"	20,0	1019
13.	72	76	74	29	24	2,9	2,4	1,1	1,8	5	TMR.	-	1020
14.	69	68	68,5	29	25	4,2	3,1	1,4	1,8	50	BTR.	-	1020
15.	71	75	73	28	24	-	-	-	0,9	10	"	90,0	1020
16.	79	80	79,5	29	24	-	-	-	1,0	15	"	6,0	1020
17.	75	76	75,5	29	23	2,2	1,1	-0,6	1,2	40	TMR.	4,0	1019
18.	84	84	84	29	23	3,2	2,2	1,1	1,1	40	UTR.	-	1020
19.	85	88	86,5	28	24	-	-	-	1,2	40	BTR.	64,0	1020
20.	90	92	91	28	24	-	-	-	0,5	5	"	70,5	1020
21.	89	88	88,5	29	24	2,8	2,1	1,1	0,9	0	TMR.	-	1020
22.	91	92	91,5	28	24	-	-	-	1,4	15	BTR.	35,0	1021
23.	88	84	86	28	25	6,2	4,7	2,3	0,9	55	UTR.	-	1020
24.	92	92	92	28	24	-	-	-	1,5	10	BTR.	35,0	1021
25.	83	83	84	28	25	2,9	2,2	1,1	1,0	10	"	BRINIB	1021
26.	67	68	67,5	29	24	-	-	-	1,5	25	TMR.	25,0	1021
27.	78	76	77	29	25	-	-	-	1,3	0	"	9,5	1020
28.	78	76	77	28	24	-	-	-	1,7	5	BTR.	18,0	1020
29.	76	76	76	29	25	-	-	-	0,8	10	TMR.	8,5	1019
30.	75	77	76	30	24	-	-	-	1,1	25	TGR.	23,0	1019
RATA-RATA										1255		447,0	50573
TAKSONOMI										44,1		26,2	1019

Sumenep, 01.11.1995
Kab. Bdg. Per. I/IV Sumenep,

Ir. H. Thohir, M.Sc. (IPB)
Hil. 67/001/11

**DATA ILMIH IZIHAMBARAH & PENGUAPAN STASIUN CUACA
PEGARANAN I/IV SUMENEP DARI TGL. 1 S/D 31 DESMBER 1995**

Tgl.	Kelembaban R.H (%)		Temperatur (C)		Penguapan air Dalam (mm/hr)		Iec.	Sinar Angin Matahari	Cerah Hujan	Tek. Angin (m) (m/b)
	Luar	D.W	R.H-2	Max	Min	Tawar	Laut	Tua	Dlm(m/det)	(X)
1	76	80	70,0	30	24	5,8	4,2	1,9	1,0	46
2	70	70	70,0	29	24	2,1	1,0	0,1	1,1	26
3	72	73	72,5	30	25	5,3	3,1	1,5	1,3	40
4	70	76	73,0	30	24	5,9	4,1	2,0	1,0	40
5	70	73	71,5	29	24	-	-	-	1,3	40
6	72	73	72,5	30	24	3,2	2,2	1,1	1,5	16
7	64	66	65,0	30	24	5,9	4,3	2,1	3,2	40
8	71	73	72,0	29	24	5,5	4,0	1,8	2,8	40
9	70	73	71,5	29	24	5,7	4,1	1,9	2,7	45
10	87	84	83,5	28	25	-	-	-	3,7	25
11	81	80	80,5	28	25	-	-	-	1,0	5
12	82	84	83,0	29	24	-	-	-	2,7	35
13	84	84	84,0	28	24	-	-	-	1,4	6
14	83	76	79,5	30	24	5,6	4,1	1,9	1,1	40
15	76	77	76,5	29	24	-	-	-	1,7	45
16	84	84	84,0	28	24	3,7	2,2	0,2	1,1	55
17	82	80	81,0	30	24	5,9	4,3	2,1	1,2	70
18	70	70	70,0	30	24	5,5	4,1	2,0	1,4	50
19	62	62	62,0	31	25	5,6	4,1	2,0	1,4	40
20	67	69	68,0	30	25	-	-	-	1,3	30
21	81	80	80,5	29	24	-	-	-	1,9	30
22	81	80	80,5	30	24	5,6	4,0	1,8	1,2	40
23	80	80	80,0	30	24	-	-	-	1,7	20
24	79	80	79,5	30	25	2,2	1,1	0,5	2,2	25
25	80	80	80,0	29	25	-	-	-	2,1	40
26	84	81	84,0	30	25	-	-	-	1,4	25
27	84	81	76,5	29	24	3,3	2,2	1,1	1,7	25
28	69	69	68,5	30	25	6,8	5,2	2,5	1,7	40
29	68	69	71,5	31	25	7,0	5,5	2,8	1,6	35
30	74	73	70,0	30	24	-	-	-	1,8	60
31	83	81	40,5	29	25	-	-	-	1,3	50
JUMLAH	2.356	2.367	2.310,5	914	765	90,6	63,8	29,3	52,5	1.100
RATA-RATA	76,00	76,35	74,82	29,48	24,35	5,03	3,54	1,63	1,7	39,05

Sumenep, tgl. 2 Januari 1996

Dr. Eng. Prof. I/V Sumenep /

/ /

Dr. Didik Heriyanto

Koordinator

TABEL A.1

DISTRIBUSI ARAH DAN KECEPATAN ANGIN TAHUN 1995

BULAN		J	P	M	A	M	J	J	A	S	O	N	D	RATA-2
ARAH		B	B	B	TGR	TGR	TGR	TGR	TGR	TGR	TGR	TGR	B	TGR
V	V _{mak}	2,2	2,6	2,8	3,5	3,9	4,6	5,3	4,9	4,3	5,8	3,5	3,7	-
m/dt	V _{rata}	1,4	1,2	1,2	1,9	2,7	3,1	3,4	3,17	3,14	2,8	1,8	1,7	2,3
	V _{min}	0,8	0,5	0,7	0,7	0,9	1,7	1,5	1,4	2,5	1,3	0,5	1,0	-

TABEL A.2
DISTRIBUSI RELATIF ARAH ANGIN

NO.	ARAH	BULAN												N	D	T(A) JML	P(A) %
		J	P	M	A	M	J	J	A	S	O						
1.	B	26	25	18	6	-	-	-	-	-	-	10	27	112	30,7		
2.	T	2	2	2	6	10	15	6	-	-	-	6	1	50	13,7		
3.	U	1	1	1	4	-	-	-	-	-	-	2	-	9	2,4		
4.	S	-	-	-	2	-	-	-	-	-	-	-	2	4	1,1		
5.	TGR	2	-	10	12	21	15	25	31	30	31	12	1	190	52,1		
6.	TL	-	-	-	-	-	-	-	-	-	-	-	-	0	0		
7.	BD	-	-	-	-	-	-	-	-	-	-	-	-	0	0		
8.	BL	-	-	-	-	-	-	-	-	-	-	-	-	0	0		
															TOTAL	365	100

TABEL A.3

DISTRIBUSI RELATIF KECEPATAN ANGIN

NO.	KEC. m/dt	BULAN												T(A) JML	P(A) %	
		J	P	M	A	M	J	J	A	S	O	N	D			
1.	0,5-1,0	9	9	11	3	1	-	-	-	-	-	7	3	43	11,8	
2.	1,1-1,5	12	17	14	11	1	-	1	1	-	5	8	14	84	23	
3.	1,6-2,0	8	1	5	4	1	3	-	1	-	1	4	7	35	9,6	
4.	2,1-2,5	2	-	-	5	9	3	1	1	1	5	3	2	32	8,8	
5.	2,6-3,0	-	1	1	2	10	10	5	10	13	10	4	3	69	18,9	
6.	3,1-3,5	-	-	-	5	7	4	12	11	13	5	4	1	62	17	
7.	3,6-4,0	-	-	-	-	2	9	7	4	2	4	-	1	29	7,9	
8.	4,1-4,5	-	-	-	-	-	-	4	2	1	-	-	-	7	1,9	
9.	4,6-5,0	-	-	-	-	-	1	-	1	-	-	-	-	2	0,5	
10.	5,1-5,5	-	-	-	-	-	-	1	-	-	-	-	-	1	0,3	
11.	5,6-6,0	-	-	-	-	-	-	-	-	-	1	-	-	1	0,3	
														TOTAL	365	100

TABEL A.4
DISTRIBUSI PELUANG ARAH DAN KECEPATAN ANGIN

NO.	KEC. m/dt	ARAH														JUMLAH	%	
		B	%	T	%	U	%	S	%	TGR	%	TL	%	BD	%	BL		
1.	0,5-1,0	30	26,55	4	8,51	4	44,44	-	-	6	3,13	-	-	-	-	-	44	12,06
2.	1,1-1,5	51	45,11	8	17,02	5	55,56	2	50	19	9,89	-	-	-	-	-	85	23,29
3.	1,6-2,0	22	19,5	4	8,51	-	-	1	25	6	3,13	-	-	-	-	-	33	9,04
4.	2,1-2,5	4	3,54	4	8,51	-	-	1	25	23	11,98	-	-	-	-	-	32	8,77
5.	2,6-3,0	4	3,54	7	14,89	-	-	-	-	58	30,2	-	-	-	-	-	69	18,90
6.	3,1-3,5	1	0,88	9	19,15	-	-	-	-	51	26,56	-	-	-	-	-	61	16,71
7.	3,6-4,0	1	0,88	8	17,02	-	-	-	-	20	10,42	-	-	-	-	-	29	7,95
8.	4,1-4,5	-	-	1	2,13	-	-	-	-	7	3,65	-	-	-	-	-	8	2,19
9.	4,6-5,0	-	-	1	2,13	-	-	-	-	1	0,52	-	-	-	-	-	2	0,55
10.	5,1-5,5	-	-	1	2,13	-	-	-	-	-	-	-	-	-	-	-	1	0,27
11.	5,6-6,0	-	-	-	-	-	-	-	-	1	0,52	-	-	-	-	-	1	0,27
TOTAL																365	100	